

2019

Weekly / Semanal **Influenza Report EW 3/ Reporte de Influenza SE 3**

Regional Update: Influenza & Other Respiratory Viruses /
Actualización Regional: Influenza y Otros virus respiratorios



**January 29, 2019
29 de enero de 2019**

*Data as of January 25 2019/
Datos hasta 25 de enero de 2019*

*Prepared by PHE/IHM/Influenza Team/
Realizado por PHE/IHM/Equipo de Influenza*

FluID



FluNet



Map Production /Producción del mapa: PAHO/WHO/OPS/OMS.

Data Source / Fuente de datos:

Ministries of Health and National Influenza Centers of Member States Reports to the informatics global platforms FluNet and / Informe de los Ministerios de Salud y los Centros Nacionales de Influenza de los Estados Miembros a las plataformas informáticas globales de FluNet y FluID

[Go to Index/](#)
[Ir al Índice](#)

WEEKLY REPORT DATA SOURCES

The information presented in this update is based on data provided by Ministries of Health and National Influenza Centers of Member States to the informatics global platforms
http://www.who.int/influenza/gisrs_laboratory/flunet/en/
and http://www.who.int/influenza/surveillance_monitoring/fluid/en/ ;
and reports/weekly bulletins that Ministries of Health published on its website or shared with PAHO/WHO.

La información presentada en esta actualización se obtiene a partir de los datos notificados por los Ministerios de Salud y los Centros Nacionales de Influenza de los Estados Miembros a las plataformas informáticas globales de la OPS/OMS: [FluNet](#) y [Fluid](#); y de los informes/boletines semanales que los Ministerios de Salud publican en sus páginas web o comparten con OPS/OMS.

PAHO INFLUENZA LINKS

PAHO interactive data / Datos interactivos de la OPS:

PAHO FluNet: http://ais.paho.org/php/viz/ed_flu.asp

PAHO Fluid: <http://ais.paho.org/php/viz/flumart2015.asp>

Influenza Regional Reports / Informes regionales de influenza:

In English: <http://www.paho.org/influenzareport>

En español: www.paho.org/reportesinfluenza

Severe acute respiratory infections network - SARinet
Red de las infecciones respiratorias agudas graves - SARinet:

<http://www.sarinet.org>

[Go to Index/](#)
[Ir al Índice](#)

REPORT INDEX

ÍNDICE DE LA ACTUALIZACIÓN

Section	Content	Page
1	<u>Weekly Summary / Resumen Semanal</u>	5
2	<u>Overall Influenza and RSV circulation / Circulación general de los virus influenza y VSR</u>	6
3	<u>Weekly and Cumulative numbers / Números semanales y acumulados</u>	7
4	<u>Epidemiological and Virologic update by country / Actualización epidemiológica y virológica por país</u>	8
5	<u>Acronyms / Acrónimos</u>	31

WEEKLY SUMMARY (ENGLISH)

North America: Overall, influenza activity slightly decreased in [Canada](#) and the [United States](#), with influenza A(H1N1)pdm09 predominating. In [México](#), high influenza-associated SARI activity was reported with predominance of influenza A(H1N1)pdm09.

Caribbean: Influenza virus activity increased and lower RSV activity was reported throughout most of the sub-region. In [Cuba](#), SARI activity was low with increased influenza A(H1N1)pdm09 circulation. Bronchiolitis consultations remained above seasonal levels in most of the [French Territoires](#).

Central America: Epidemiological indicators remained at moderate levels and influenza activity was low throughout the sub-region with influenza A(H1N1)pdm09 and B co-circulating. Overall, RSV activity decreased; while in [Costa Rica](#), RSV circulation continued elevated. In [Costa Rica](#) and [Nicaragua](#), moderate pneumonia and SARI activity were reported associated with influenza and RSV.

Andean Region: Overall influenza activity decreased in the sub-region with influenza A(H3N2) predominance. In [Bolivia](#) and [Ecuador](#), influenza A(H3N2) and B co-circulated with low SARI activity.

Brazil and Southern Cone: Influenza activity was low throughout the sub-region. [Brazil](#) and [Chile](#), influenza-associated SARI cases decreased associated with influenza B detections.

Global: In the temperate zone of the northern hemisphere influenza activity continued to increase slowly. In North America influenza activity remained elevated overall with influenza A(H1N1)pdm09 predominating, while both influenza A viruses circulated in Europe. In Western and East Asia, some countries reached medium levels of influenza intensity. In Southern Asia, influenza detections remained elevated overall mainly due to increased influenza A(H3N2) detections. In the temperate zones of the southern hemisphere, influenza activity returned to inter-seasonal levels with exception of some parts in Australia. Worldwide, seasonal influenza A viruses accounted for the majority of detections.

RESUMEN SEMANAL (ESPAÑOL)

América del Norte: En general, la actividad de influenza disminuyó ligeramente en [Canadá](#) y los [Estados Unidos](#), con predominio de A(H1N1)pdm09. En [México](#), se reportó elevada la actividad de IRAG asociada a influenza con predominio de influenza A(H1N1)pdm09.

Caribe: La actividad de influenza aumentó y se reportó menor actividad de VSR en la mayoría de la subregión. En [Cuba](#), la actividad de IRAG fue baja con elevada circulación de influenza A(H1N1)pdm09. Las consultas por bronquiolitis permanecieron sobre los niveles estacionales en la mayoría de los [Territorios Franceses](#).

América Central: Los indicadores epidemiológicos permanecieron en niveles moderados y la actividad de influenza permaneció baja en la sub-región con co-circulación de influenza A(H1N1)pdm09 y B. La actividad de VSR disminuyó en general; en tanto en [Costa Rica](#), la circulación de VSR continuó elevada. En [Costa Rica](#) y [Nicaragua](#), se reportó moderada actividad de neumonía e IRAG asociada a influenza y VSR.

Sub-región Andina: La actividad general de influenza disminuyó en la sub-región con predominio de influenza A(H3N2). En [Bolivia](#) y [Ecuador](#), co-circularon influenza A(H3N2) y B con baja actividad de IRAG.

Brasil y Cono Sur: Los niveles de influenza se ubicaron a niveles bajos en toda la sub-región. En [Brasil](#) y [Chile](#), los casos de IRAG por influenza disminuyeron asociados a detecciones influenza B.

Global: En la zona templada del hemisferio norte, la actividad de influenza continuó aumentando lentamente. En América del Norte, la actividad de influenza permaneció elevada en general, predominando influenza A(H1N1) pdm09, mientras que ambos virus influenza A circularon en Europa. En Asia occidental y oriental, algunos países alcanzaron niveles medios de intensidad de influenza. En el sur de Asia, las detecciones de influenza se mantuvieron elevadas en general debido principalmente al aumento de las detecciones de influenza A(H3N2). En las zonas templadas del hemisferio sur, la actividad de influenza regresó a niveles interestacionales, con excepción de algunas partes en Australia. En todo el mundo, los virus influenza A estacional representaron la mayoría de las detecciones

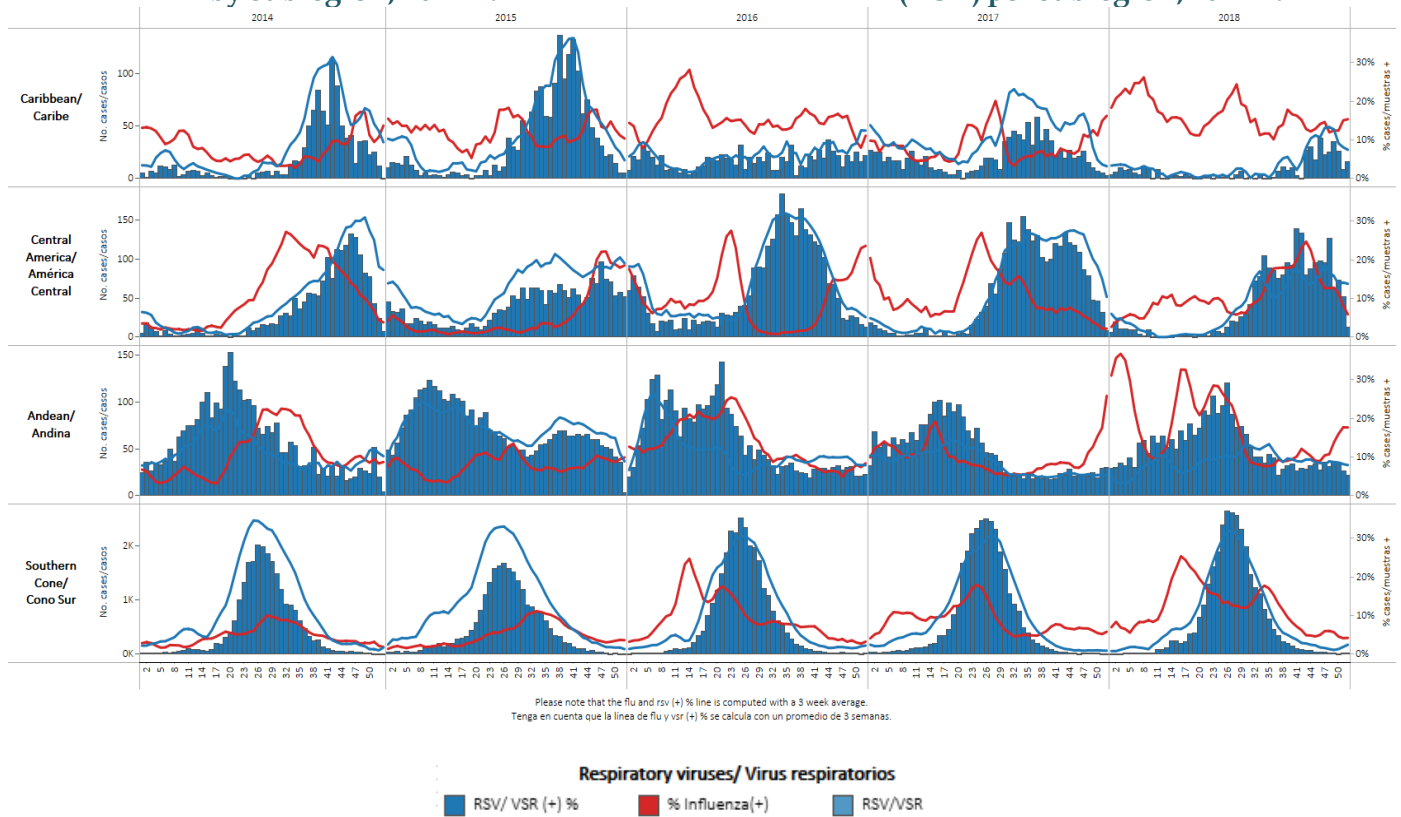
Influenza circulation by subregion, 2014-19

Circulación de virus influenza por subregión, 2014-19



Respiratory syncytial virus (RSV) circulation by subregion, 2014-19

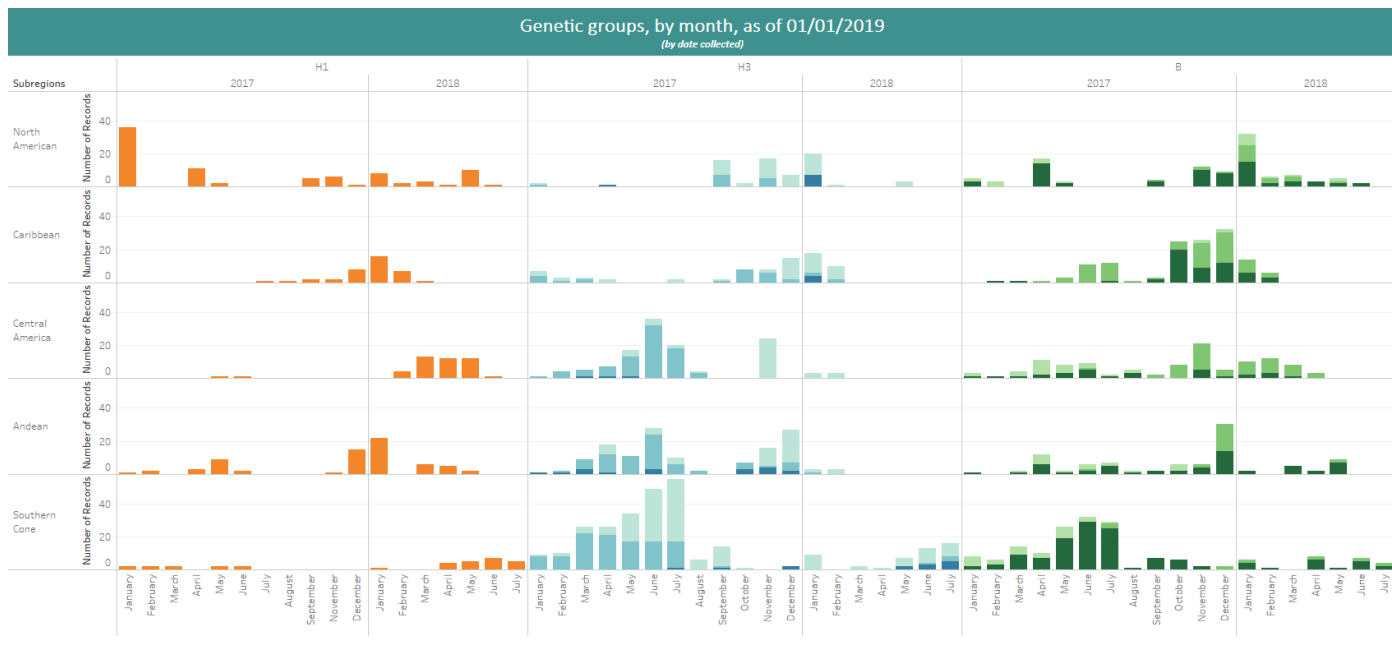
Circulación de virus sincicial respiratorio (VSR) por subregión, 2014-19



*To view more lab data, view [here](#). / Para ver mas datos lab, vea [aquí](#).

Genetic Characterization of Influenza Virus by Subregion, 2017-19

Caracterización Genética de los Virus Influenza por Subregión, 2017-19



These data are from the WHO -Collaborating Center at the U.S. CDC.
Estos datos son recolectados desde el CC de la OMS en el CDC de EE. UU.

Genetic Group

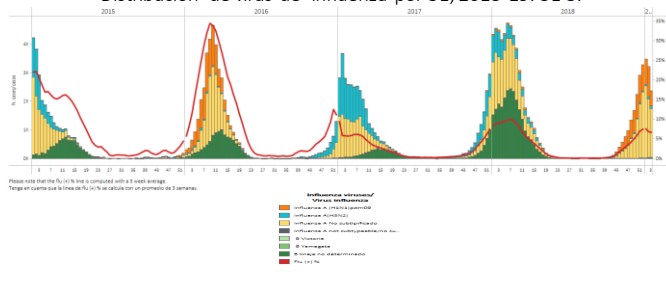
3C.2a	3C.3a	V1A	Y3
3C.2a1	6B.1	V1A.1	

North America / América del Norte

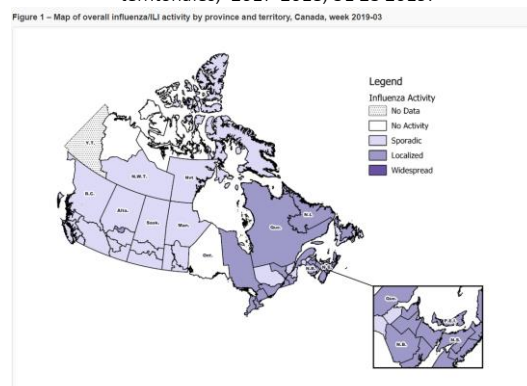
Canada / Canadá

- In EW 3, the percent of ILI visits at the national level decreased and was below the 5-year average for the same period (Graph 2). During EW 3, influenza activity continued to increase: 23 regions reported localized activity in Alta, Ontario, Quebec, N.L., N.S., P.E.I and N.B; and most of the provinces and territories reported sporadic ILI activity (Graph 3). During EW 3, influenza detections decreased (Graph 1) and influenza A(H1N1)pdm09 predominated among the influenza detections. RSV positivity remained elevated in recent weeks, while parainfluenza, adenovirus and coronavirus predominated among the other respiratory viruses (Graph 4). In EW 3, the pediatric hospitalizations increased above the average for 2010-2018 after a peak 4-6 weeks earlier than in recent seasons (Graph 5). A total of 677 pediatric hospitalizations were reported, with 99% of all cases associated with influenza A and mainly among the children under 9 years-of-age. From EW 35 to EW 3, 98 pediatric ICU admissions were reported, mainly among children under 10 years of age. The elderly was the most affected among influenza-associated adult hospitalizations. Ten pediatric deaths were registered during the 2018-19 season. / En la SE 3, el porcentaje de consultas por ETI a nivel nacional disminuyó y se ubicó dentro del promedio de 5 años para el mismo período (Gráfico 2). Durante la SE 3, la actividad de influenza continuó en aumento: 23 regiones reportaron actividad localizada de ETI en Quebec, 17 regiones reportaron actividad localizada de ETI en Alta, Ontario, Quebec, N.L., N.S., P.E.I y N.B.; y la mayoría de los territorios y provincias reportaron esporádica actividad de ETI (Gráfico 3). Durante la SE 3, las detecciones de influenza disminuyeron (Gráfico 1) y los virus influenza A(H1N1)pdm09 predominaron entre las detecciones de influenza. La positividad de VSR permaneció elevada en semanas recientes, en tanto parainfluenza, adenovirus y coronavirus predominaron entre los otros virus respiratorios (Gráfico 4). En la SE 3, las hospitalizaciones pediátricas aumentaron sobre el promedio para 2010-2018 luego de un pico 4-6 semanas antes que en las previas temporadas (Gráfico 5). Se reportó un total de 677 hospitalizaciones pediátricas, con 99% de todos los casos asociados a influenza A y mayoritariamente en niños menores de 9 años de edad. Desde la SE 35 a la SE 3, se reportaron 98 admisiones a UCI pediátricas, principalmente entre niños menores de 10 años. Los adultos mayores fueron los más afectados entre las hospitalizaciones de adultos asociadas a influenza. Se registraron diez muertes pediátricas durante la temporada 2018-2019.

Graph 1. Canada: Influenza virus distribution by EW, 2015-19, EW 3. /
Distribución de virus de influenza por SE, 2015-19. SE 3.



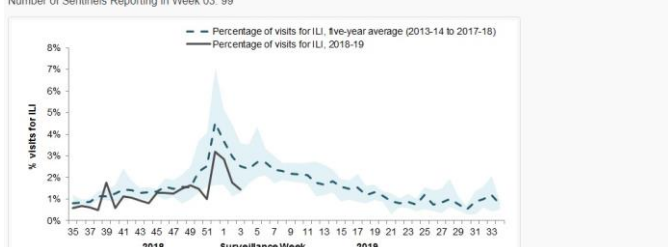
Graph 3. Canada: Influenza activity by provincial and territorial influenza surveillance regions, 2017-2018, EW 3, 2019.
Actividad de influenza por regiones de vigilancia de influenza provinciales y territoriales, 2017-2018, SE 23 2019.



Graph 2. Canada: Percentage of ILI visits by sentinel sites, EW 3, 2019 (in comparison to 2012-2017 seasons)
Porcentaje de casos de ETI por sitio centinela, SE 3, 2019 (en comparación con temporadas 2012-2017)

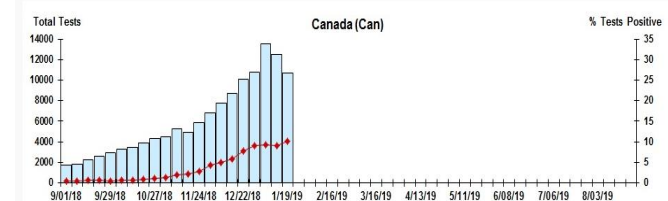
Figure 2 – Percentage of visits for ILI reported by sentinel sites by report week, Canada, weeks 2018-35 to 2018-19-03

Number of Sentinels Reporting in Week 03: 99



Graph 4. Canada: RSV distribution by EW, EW 3, 2019. /
Distribución de VSR por SE, SE 3, 2019.

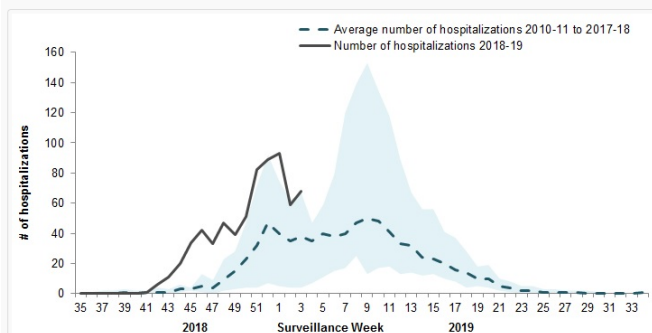
Figure 4 – Positive Respiratory syncytial virus (RSV) Tests (%) in Canada by Region by Week of Report



Graph 5. Canada: Number of pediatric hospitalizations (≤ 16 years old) by EW, EW 35, 2018 to EW 3, 2019. /

Número de hospitalizaciones pediátricas (≤ 16 años) por SE, SE 35 2018 a SE 3 2019

Figure 7 – Number of pediatric (≤ 16 years of age) hospitalizations reported by the IMPACT network, by week, Canada, weeks 2018-35 to 2019-03



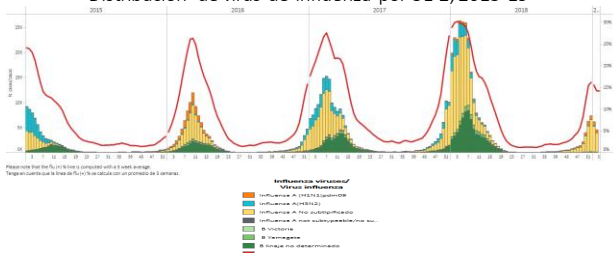
*To view more epi data, view [here](#). / Para ver mas datos epi, vea [aquí](#).

United States / Estados Unidos

- In EW 3, ILL activity at the national level decreased above the seasonal threshold of 2.2% (Graph 4). New York city and 18 states (Alabama, Colorado, Georgia, Indiana, Kansas, Kentucky, Louisiana, Maryland, Massachusetts, Nebraska, New Jersey, New Mexico, Oklahoma, Rhode Island, South Carolina, Texas, Vermont, and Virginia) experienced high ILI activity and 10 states experienced moderate activity, with low activity reported in the rest of the country during EW 3 (Graph 5). Influenza detections slightly decreased during EW 2, while RSV activity remained elevated in recent weeks. Influenza A(H1N1)pdm09 and both lineages of influenza B co-circulated in recent weeks (Graph 1,2). The proportion of pneumonia and influenza deaths among all deaths was above the epidemic threshold of 7.1% for EW 1 (Graph 3). Twenty-two pediatric deaths due to influenza A were reported during the 2018-2019 season. In EW 3, the overall laboratory-confirmed influenza hospitalization rate 14.8 per 100,000 population) was lower than the previous season for the same period (49.2 per 100,000 population), with the highest rates among children aged 0-4 (Graph 6) / En la SE 3, la actividad de ETI a nivel nacional disminuyó sobre el umbral estacional de 2,2% (Gráfico 4). New York city y 18 estados (Alabama, Colorado, Georgia, Indiana, Kansas, Kentucky, Louisiana, Maryland, Massachusetts, Nebraska, New Jersey, New Mexico, Oklahoma, Rhode Island, South Carolina, Texas, Vermont, y Virginia) presentaron actividad de ETI elevada y 10 estados presentaron actividad moderada de ETI, con baja actividad reportada en el resto del país durante la SE 3 (Gráfico 5). Las detecciones de influenza disminuyeron durante la SE 2, en tanto la actividad de VSR permaneció elevada en semanas recientes. Influenza A(H1N1)pdm09 y ambos linajes de B co-circularon en semanas recientes (Gráfico 1, 2). La proporción de fallecidos por neumonía e influenza del total de fallecidos se ubicó sobre el umbral epidémico de 7,1% para la SE 1 (Gráfico 3). Se reportaron veintidos muertes pediátricas debida a influenza A durante la temporada 2018-2019. En la SE 3, la tasa total de hospitalizaciones por influenza confirmada por laboratorio (14,8 por 100.000 habitantes) fue menor que en la temporada anterior para el mismo periodo (49,2 por 100.000 habitantes), con las tasas más altas en niños de 0-4 años (Gráfico 6).

Graph 1. US: Influenza virus distribution by EW 2, 2015-19

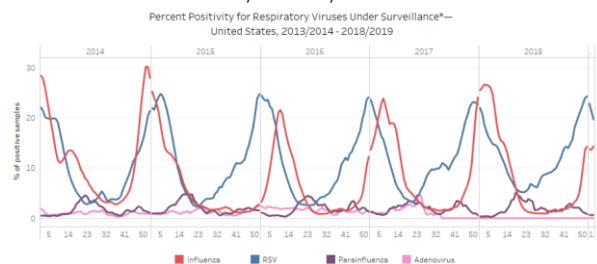
Distribución de virus de influenza por SE 2, 2015-19



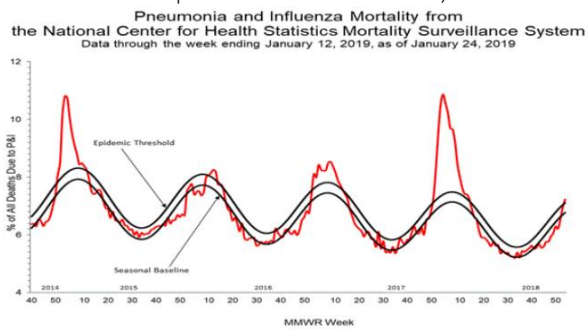
Graph 2. US: Percent positivity for respiratory virus EW 3

Porcentaje de positividad para virus respiratorios, por SE 3,

2013/14- 2018/19



Graph 3. US: Pneumonia and influenza mortality. EW 1, 2019
Mortalidad por neumonía e influenza. SE 1, 2019

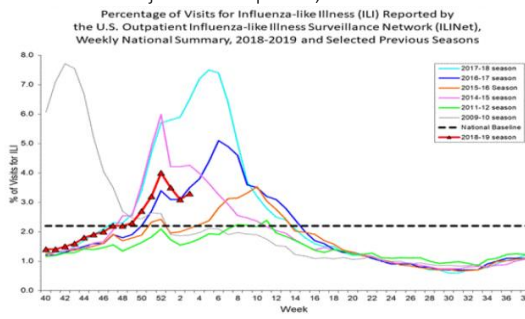


Graph 5. US: ILI activity level indicator determined by state, EW 3, 2018-2019.

Indicador de nivel de actividad de ETI por estado, SE 3, 2018-2019.

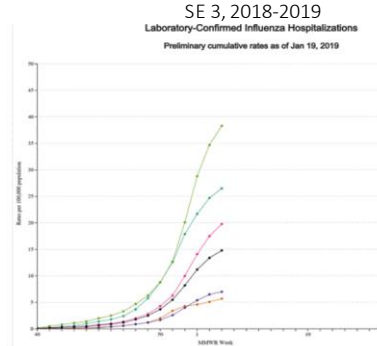


Graph 4. US: Percentage of visits for ILI, 2018-2019. EW 3
Porcentaje de visitas por ETI, 2018-2019. SE 3.



Graph 6. US: Laboratory-confirmed influenza hospitalizations rates (per 100000 population) by age group and W, EW 3, 2018-2019.

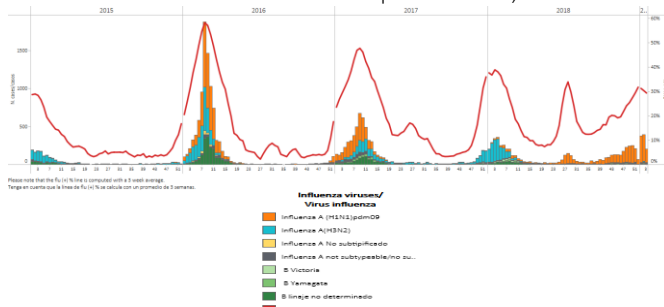
Tasas de hospitalizaciones (por 100000 habitantes) por influenza confirmadas por laboratorio por grupo de edad y SE,



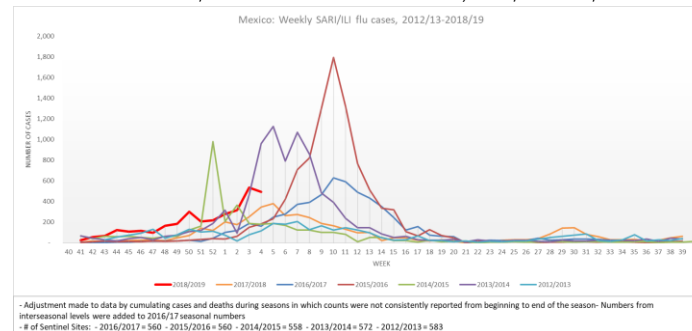
Mexico

- During EW 2, influenza activity continued elevated with influenza A(H1N1)pdm09 predominating. RSV activity decreased, with co-circulation of rhinovirus, parainfluenza and metapneumovirus in the last month (Graph 1, 2). Up to EW 3, influenza-associated SARI/ILI counts were slightly higher than the levels observed during most other seasons (Graph 3) and 313 influenza-associated SARI/ILI deaths were reported as compared from previous seasons for the same period (Graph 4, 8). In EW 3, 14 states reported higher influenza-associated SARI/ILI counts than the historic average (\geq than 2 standard deviation above): Baja California, Baja California Sur, Chiapas, Chihuahua, Durango, Guerrero, Mexico, Oaxaca, Puebla, Sonora, Tabasco, Tamaulipas, Tlaxcala and Veracruz (Graph 5). In EW 3, 14 states reported higher influenza-associated SARI/ILI deaths counts than the historic average: Baja California, Baja California Sur, Chiapas, Chihuahua, Durango, Guerrero, Oaxaca, Puebla, Sinaloa, Sonora, Tabasco, Tamaulipas, Tlaxcala, and Veracruz (Graph 6). During EW 4, 3282 cumulative influenza-associated SARI/ILI cases were reported, with the highest counts in Ciudad de Mexico, Oaxaca, Estado de Mexico, Chihuahua, and Veracruz; and 313 influenza-associated SARI/ILI deaths predominating in Puebla, Baja California, Oaxaca, Estado de Mexico and Hidalgo (Graphs 7, 8). / Durante la SE 3, la actividad de influenza continuó elevada con predominio de influenza A(H1N1)pdm09. La actividad de VSR disminuyó, con co-circulación de rinovirus, parainfluenza y metapneumovirus en el último mes (Gráfico 1,2). Hasta la SE 3, los recuentos de IRAG/ETI asociados a influenza fueron ligeramente superiores a los niveles observados durante la mayoría de las restantes temporadas (Gráfico 3) y se reportaron 313 casos fallecidos de IRAG/ETI asociados a influenza en relación a las previas temporadas para el mismo período (Gráfico 4,8). En la SE 3, 14 estados reportaron mayores recuentos de IRAG/ETI asociados a influenza en comparación con el promedio histórico (\geq a 2 desvíos estándar) : Baja California, Baja California Sur, Chiapas, Chihuahua, Durango, Guerrero, Mexico, Oaxaca, Puebla, Sinaloa, Sonora, Tabasco, Tamaulipas, Tlaxcala y Veracruz (Gráfico 5). En la SE 3, 14 estados reportaron mayor recuento de fallecidos por IRAG/ETI asociados a influenza en comparación con el promedio histórico: Baja California, Baja California Sur, Chiapas, Chihuahua, Durango, Guerrero, Oaxaca, Puebla, Sinaloa, Sonora, Tabasco, Tamaulipas, Tlaxcala, y Veracruz (Graph (Gráfico 6). Durante la SE 4, fue reportado un total acumulado de 3282 casos de IRAG/ETI asociados a influenza con el mayor recuento en Ciudad de Mexico, Oaxaca, Estado de Mexico, Chihuahua y Veracruz; y 313 muertes por IRAG/ETI asociadas a influenza predominando en Puebla, Baja California, Oaxaca, Estado de Mexico y Hidalgo (Gráficos 7, 8).

Graph 1. Mexico: Influenza virus distribution by EW 2015-19, EW 3.
Distribución de virus influenza por SE 2015-19, SE 3.



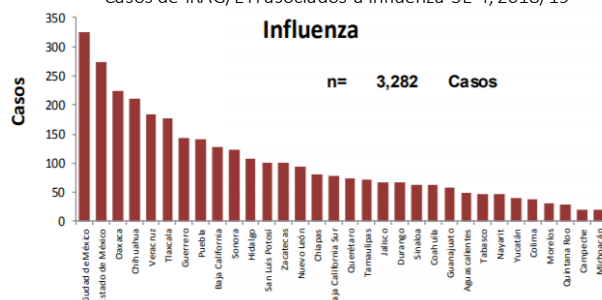
Graph 3. Mexico: Influenza-associated SARI/ILI cases EW 3, 2012/13-2018/19
Casos de IRAG/ETI asociados a influenza SE 3, 2012/13-2018/19



Graph 5. Mexico: Cumulative influenza-associated SARI/ILI cases greater than historic average, EW 40-4 (2013/14-2018/19)
Casos acumulados de IRAG/ETI asociados a influenza superior al promedio historico, SE 40-4 (2013/14- 2018/19)

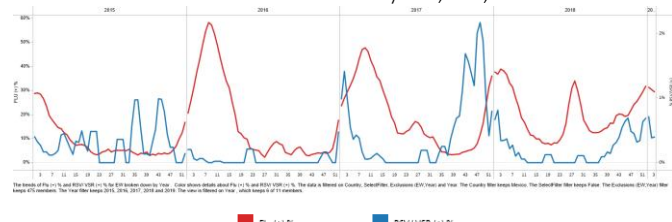


Graph 7. Mexico: SARI/ILI-influenza cases EW 4, 2018/19
Casos de IRAG/ETI asociados a influenza SE 4, 2018/19

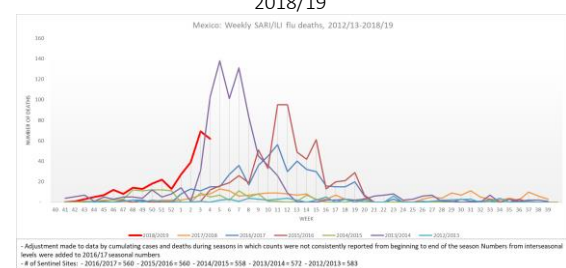


*To view more epi data, view [here](#). / Para ver mas datos epi, vea [aquí](#).

Graph 2. Mexico: Influenza and RSV distribution, EW 3, 2015-19
Distribución de virus influenza y VSR, SE 3, 2015-19



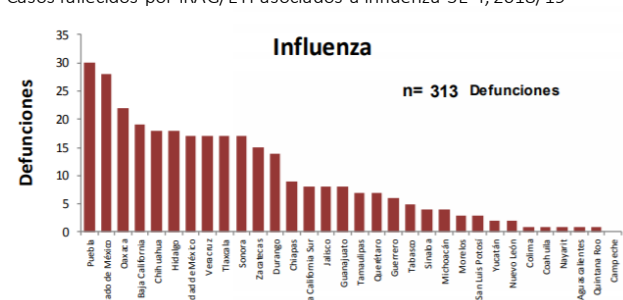
Graph 4. Mexico: Influenza-associated SARI/ILI deaths EW 3, 2012/13-2018/19
Casos fallecidos por IRAG/ETI asociados a influenza SE 3, 2012/13-2018/19



Graph 6. Mexico: Cumulative influenza-associated SARI/ILI deaths greater than historic average, EW 40-4(2013/14-2018/19)
Fallecidos acumulados de IRAG/ETI asociados a influenza superior al promedio historico, SE 40-4 (2013/14-2018/19)

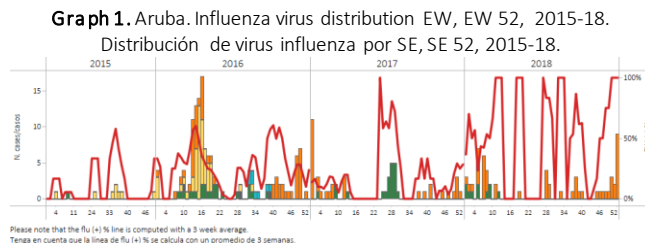


Graph 8. Mexico: SARI/ILI-influenza deaths EW 4, 2018/19
Casos fallecidos por IRAG/ETI asociados a influenza SE 4, 2018/19

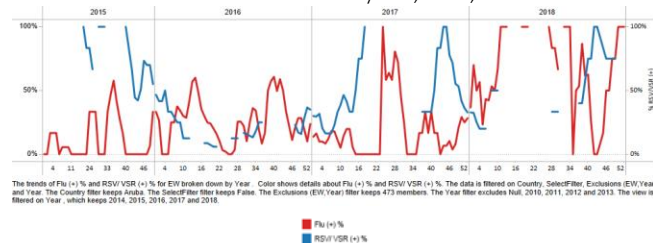


Aruba

- During EW 52, increased influenza detections were reported and influenza A(H1N1)pdm09 activity predominated (Graph 1) with increased SARI activity in recent weeks (Graph 3). The proportion of RSV positive samples was as higher as the proportion of influenza samples in EW 52 (Graph 2). / Durante la SE 52, se reportaron mayores detecciones de influenza y la actividad de influenza A(H1N1)pdm09 predominó (Gráfico 1) con mayor actividad de IRAG en semanas recientes (Gráfico 3). La proporción de muestras positivas para VSR fue tan elevada como la proporción de muestras para influenza en la SE 48 (Gráfico 2).



Graph 2. Aruba. Influenza and RSV distribution, EW 52, 2015-18
Distribución de virus influenza y VSR, SE 52, 2015-18.



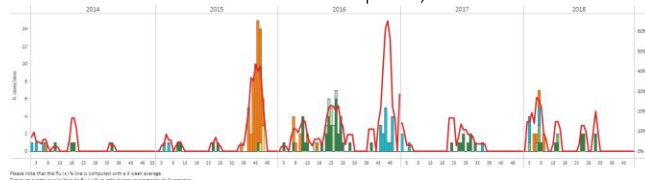
Graph 3. Aruba: Number of SARI cases with samples by EW, EW 48.
Número de casos IRAG con muestra por SE, SE 48, 2018



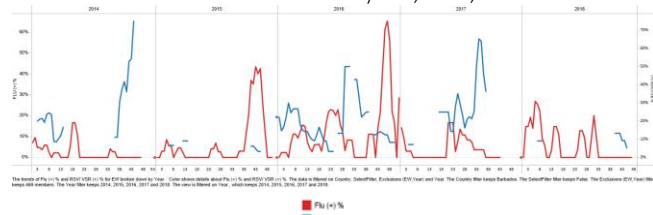
Barbados

- From EW 33 to EW 46, no influenza detections were reported, and influenza B circulated in previous weeks (Graph 1, 2). During 2018, few RSV detections were reported (Graph 2). As of EW 49, the decreased SARI activity was below the levels observed in the 2015-2017 seasons for the same period (Graph 3). / Desde la SE 33 a la SE 46, no se reportaron detecciones de influenza e influenza B circuló en semanas previas (Gráfico 1, 2). Durante 2018, se reportaron escasas detecciones de VSR (Gráfico 2). Hasta la SE 48, la actividad disminuida de IRAG se ubicó por debajo de los niveles observados en las temporadas 2015-2017 para el mismo período (Gráfico 3).

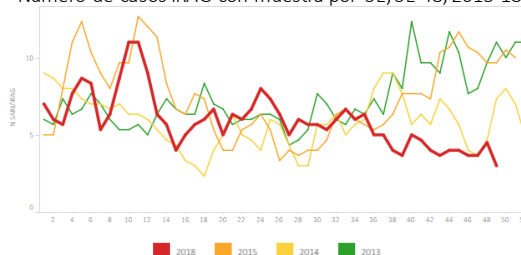
Graph 1. Barbados. Influenza virus distribution EW, EW 46, 2014-18.
Distribución de virus influenza por SE, SE 46 2014-18.



Graph 2. Barbados. Influenza and RSV distribution, EW 46, 2014-18
Distribución de virus influenza y VSR, SE 46, 2014-18.



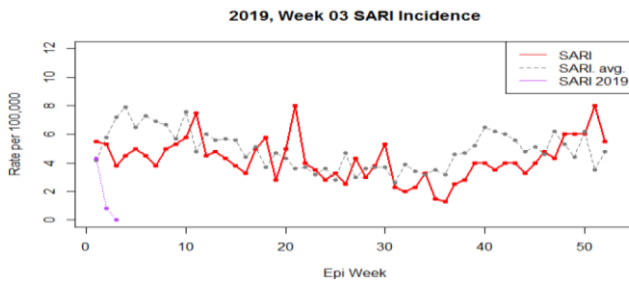
Graph 3. Barbados: Number of SARI cases with samples by EW, EW 48, 2013-18.
Número de casos IRAG con muestra por SE, SE 48, 2013-18



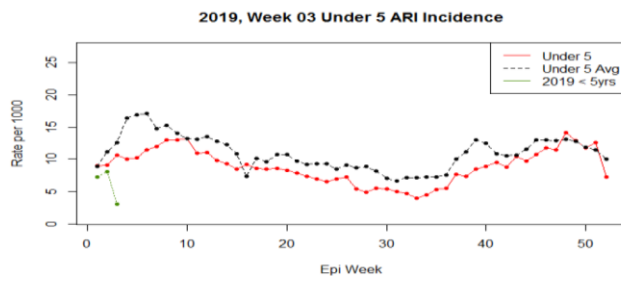
Belize/ Belice

- During EW 3, decreased SARI activity was reported (Graph 1), as compared to the previous five seasons' average. In EW 3, the ARI incidence rate among <5 years of age children was lower than the previous seasons for the same period (Graph 2). In EW 2, decreased influenza samples were detected with influenza B and A(H1N1)pdm09 circulating during the previous weeks (Graph 3). / Durante la SE 3, se reportó un descenso en la actividad de IRAG (Gráfico 1), en comparación con el promedio de las cinco temporadas previas. En la SE 3, la incidencia de IRA entre los niños <5 años fue menor que en las temporadas previas para el mismo período (Gráfico 2). En la SE 2, se detectaron menores muestras de influenza con circulación de influenza B y A(H1N1)pdm09 en semanas previas (Gráfico 3).

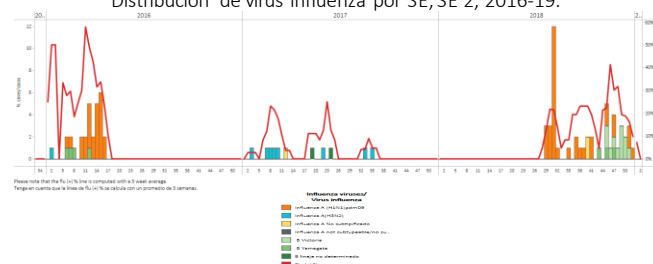
Graph 1. Belize: SARI incidence rate per 100,000, EW 3, 2019
Tasa de incidencia de IRAG por 100.000, SE 3, 2019



Graph 2. Belize: ARI incidence rate per 100,000, <5 years old, EW 3, 2019
Tasa de incidencia de IRA por 100.000, <5 años de edad, SE 3, 2019

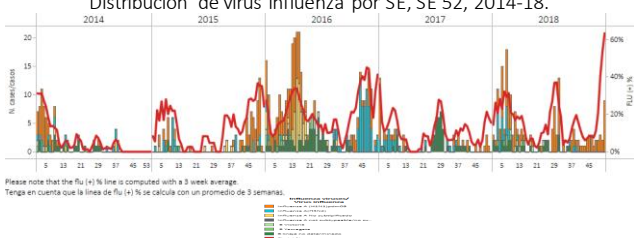


Graph 3. Belize. Influenza virus distribution EW, EW 2, 2016-19.
Distribución de virus influenza por SE, SE 2, 2016-19.

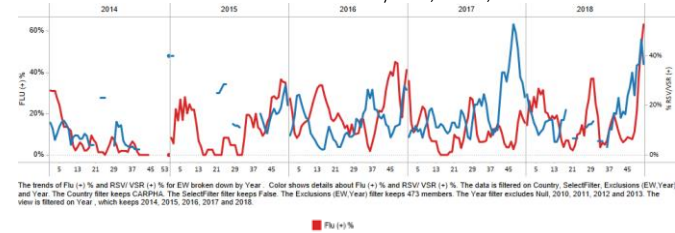
**CARPHA**

- During EW 52, increased influenza detections were reported with influenza A(H1N1)pdm09 circulating (Graph 1). The proportion of influenza positive samples and the proportion of RSV positive samples increased from previous weeks (Graph 2). Durante la SE 52, se reportaron mayores detecciones de influenza con circulación de influenza A(H1N1)pdm09 (Gráfico 1). La proporción de muestras positivas para influenza y la proporción de muestras positivas para VSR aumentaron en relación con semanas previas (Gráfico 2).

Graph 1. CARPHA. Influenza virus distribution EW, EW 52, 2014-18.
Distribución de virus influenza por SE, SE 52, 2014-18.



Graph 2. CARPHA. Influenza and RSV distribution, EW 52, 2014-18
Distribución de virus influenza y VSR, SE 52, 2014-18.

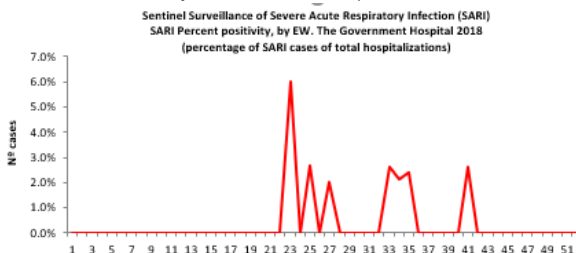


*To view more epi data, view [here](#). / Para ver mas datos epi, vea [aquí](#).

Cayman Island / Islas Caiman

- From EW 23 to EW 44, SARI activity remained at low levels, with no cases reported in EW 44 (Graph 1). / Desde la SE 23 a SE 44, la actividad de IRAG permaneció a niveles bajos, sin casos reportados en la SE 44 (Gráfico 1).

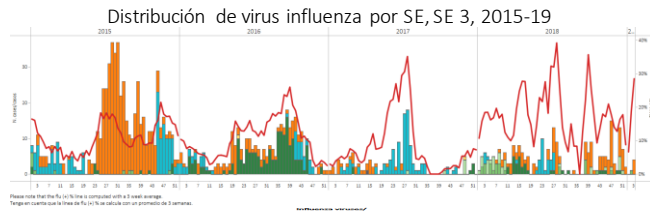
Graph 1. Cayman Island/ Islas Caiman: Percentage of SARI cases by EW, EW 44, 2018.
Porcentaje de casos de IRAG por SE, SE 44, 2018



Cuba

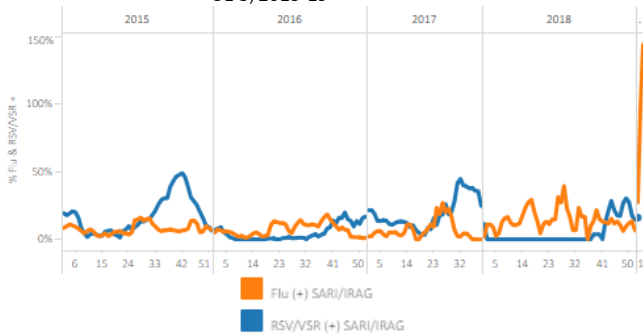
- During EW 3, increased influenza activity was reported with influenza A(H1N1)pdm09 and B co-circulating and overall few samples (Graph 1); while there was no RSV circulation during the 2018-19 season until EW 39 to EW 3, 2019 (Graph 2). The number of SARI cases decreased and were lower than in the 2018 season for the same period and were among the <5-years-old population, with influenza predominating (Graph 1,3). / Durante la SE 3, se reportó mayor actividad de influenza, con co-circulación de influenza A(H1N1)pdm09 y B y bajas muestras en general (Gráfico 1), en tanto no se reportó circulación de VSR durante la temporada 2018-19 hasta la SE 39 a SE 3 de 2019 (Gráfico 2). Los casos de IRAG disminuyeron y estuvieron por debajo de los niveles de la temporada 2018 para el mismo período y fueron entre la población de <5 años de edad con predominio de influenza (Gráfico 1, 3).

Graph 1. Cuba: Influenza virus distribution by EW, EW 3, 2015-19

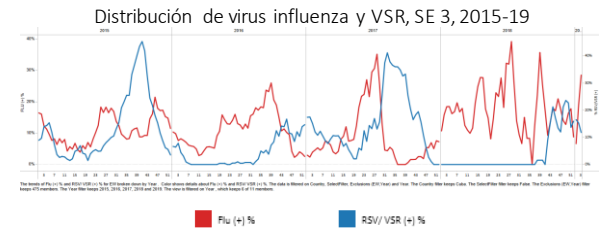


Graph 3. Cuba: Percent positivity for influenza and RSV among SARI cases by EW, EW 3, 2015-19

Porcentaje de positividad por influenza y VSR entre todos los casos, por SE, SE 3, 2015-19

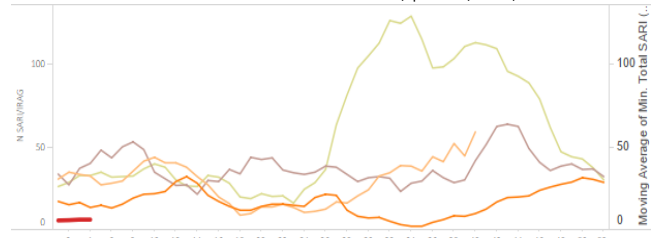


Graph 2. Cuba Influenza and RSV distribution, EW 3, 2015-19



Graph 4. Cuba: Number of SARI cases with samples by EW, EW 3, 2019

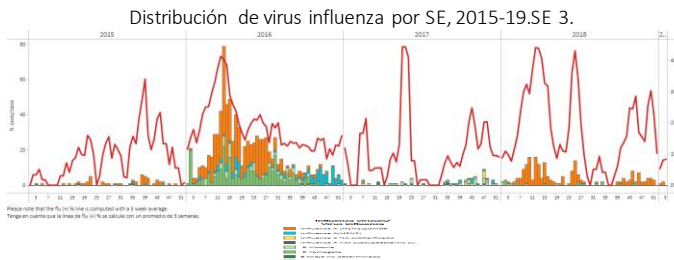
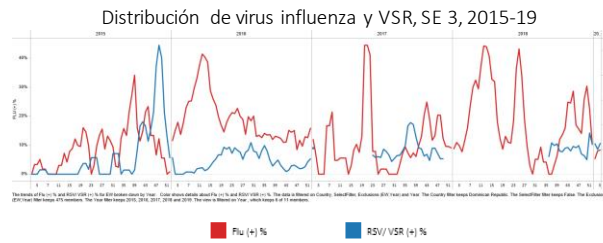
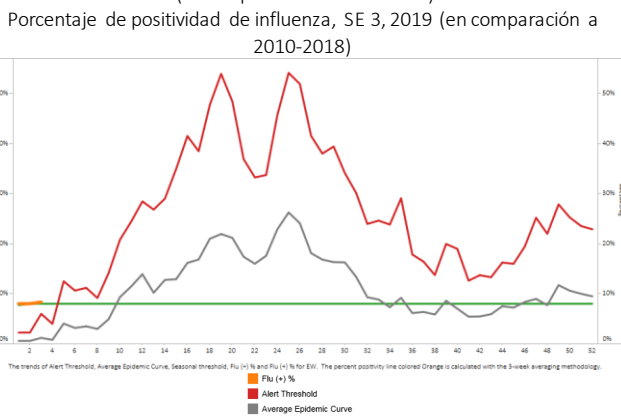
Número de casos de IRAG con muestras, por SE, SE 3, 2019



*To view more epi data, view [here](#). / Para ver más datos epi, vea [aquí](#).

Dominican Republic / República Dominicana

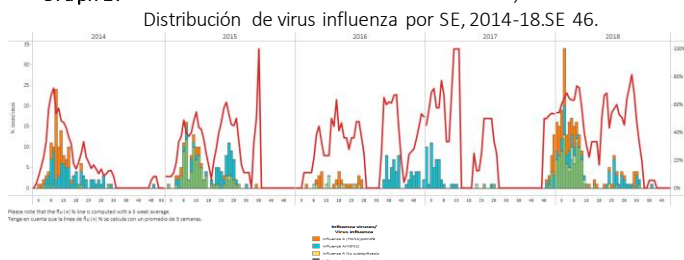
- During EW 3, slightly increased influenza detections were reported, with influenza A(H1N1)pdm09 predominating in recent weeks (Graph 1); RSV detections decreased from the prior week (Graph 2). Influenza positivity was above the alert threshold and the average epidemic curve (Graph 3). During EW 3, the number of SARI cases decreased from previous weeks (Graph 4), with a similar proportion of influenza and RSV positive samples. The SARI and influenza-associated SARI cases predominated among the <5 years old. / Durante la SE 3, se reportaron ligeramente mayores detecciones de influenza, con predominio de influenza A(H1N1)pdm09 en semanas recientes (Gráfico 1); las detecciones de VSR disminuyeron en relación a la semana previa (Gráfico 2). La positividad de influenza se ubicó sobre el umbral de alerta y el umbral epidémico (Gráfico 3). Durante la SE 3, el número de casos de IRAG disminuyó en relación a semanas previas (Gráfico 4), con una proporción similar de muestras positivas para influenza y VSR. Los casos de IRAG y los casos de IRAG asociados a influenza predominaron en los <5 años.

Graph 1. Dominican Republic: Influenza virus distribution EW, 2015-19. EW 3.**Graph 2.** Dominican Republic Influenza and RSV distribution, EW 3, 2015-19**Graph 3.** Dominican Republic: Percent positivity for influenza, EW 3 2019 (in comparision to 2010-2018)**Graph 4.** Dominican Republic: Number of SARI cases that were sampled, by EW, EW 3, 2019

*To view more epi data, view [here](#). / Para ver mas datos epi, vea [aquí](#).

French Guiana

- During EW 46, no influenza detections were reported, with influenza A(H3N2) circulating in recent weeks (Graph 1). Influenza positivity was below the seasonal threshold and the average epidemic curve. / Durante la SE 46, no se reportaron detecciones de influenza, con circulación de influenza A(H3N2) en semanas recientes (Gráfico 1). La actividad de influenza se ubicó bajo el umbral estacional y la curva epidémica.

Graph 1. French Guiana: Influenza virus distribution EW, 2014-18. EW 46.

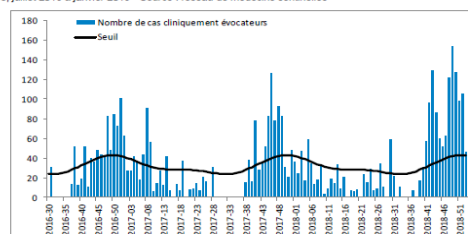
French Territories / Territorios Franceses

- During EW 1, 2019, bronchiolitis consultations decreased after a peak in EW 43 and were slightly higher than the seasonal average in Guadeloupe (Graph 1), while ILI activity remained at low levels (Graph 2). As of EW 1, in Martinique, bronchiolitis and ILI activities decreased below seasonal levels for the 2018 season (Graph 3, 4), while in Saint-Barthélemy, bronchiolitis activity remained high (Graph 5). / Durante la SE 1 de 2019, las consultas por bronquiolitis disminuyeron luego de un pico en la SE 43 y fueron ligeramente mayores que el promedio estacional en Guadalupe (Gráfico 1), en tanto la actividad de ETI se mantuvo a niveles bajos (Grafico 2). Hasta la SE 1, en Martinicalas actividades de bronquiolitis y de ETI disminuyeron bajo losniveles estacionales para la temporada 2018 (Gráfico 3, 4), mientras que en Saint-Barthélemy, la actividad de bronquiolitis permaneció elevada (Gráfico 5).

Graph 1. Guadeloupe: Number of bronchiolitis consultations, EW 1, 2016-2019

Número de consultas de bronquiolitis, SE 1, 2016-2019

Nombre* hebdomadaire de patients ayant consulté un médecin généraliste de ville pour une bronchiolite et seuil saisonnier, Guadeloupe, juillet 2016 à janvier 2019 - Source : réseau de médecins sentinelles

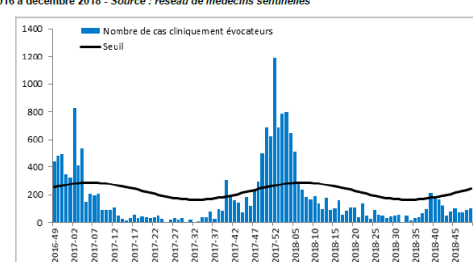


*Le nombre de cas est une estimation pour l'ensemble de la population guadeloupéenne du nombre de personnes ayant consulté un médecin généraliste pour un syndrome clinique évocateur de bronchiolite. Cette estimation est réalisée à partir des données recueillies par le réseau des médecins sentinelles.

Graph 2. Guadeloupe: Number of ambulatory consultations for ILI, EW 49, 2016-2018

Número de consultas ambulatorias por ETI, SE 49, 2016-2018

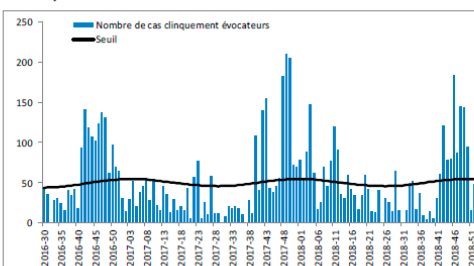
Nombre estimé de consultations pour syndrome grippal chez un médecin généraliste et seuil saisonnier, Guadeloupe, décembre 2016 à décembre 2018 - Source : réseau de médecins sentinelles



Graph 3. Martinique: Number of bronchiolitis consultations, EW 1, 2016-2019

Número de consultas de bronquiolitis, SE 1, 2016-2019

Nombre* hebdomadaire de patients ayant consulté un médecin généraliste de ville pour une bronchiolite et seuil saisonnier, Martinique, juillet 2016 à janvier 2019 - Source : réseau de médecins sentinelles



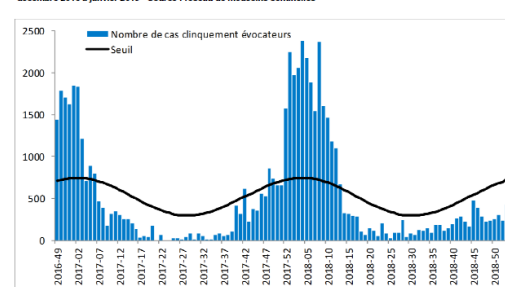
*Le nombre de cas est une estimation pour l'ensemble de la population martiniquaise du nombre de personnes ayant consulté un médecin généraliste pour un syndrome clinique évocateur de bronchiolite. Cette estimation est réalisée à partir des données recueillies par le réseau des médecins sentinelles.

Graph 4. Martinique: Number of ambulatory consultations for ILI, EW 1, 2016-2019

2016-2019

Número de consultas ambulatorias por ETI, SE 1, 2016-2019

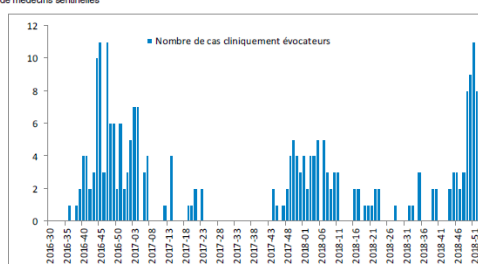
Nombre estimé de consultations pour syndrome grippal chez un médecin généraliste et seuil saisonnier, Martinique, décembre 2016 à janvier 2019 - Source : réseau de médecins sentinelles



Graph 5. Saint-Barthélemy: Number of bronchiolitis consultations, EW 1, 2016-2019

Número de consultas de bronquiolitis, SE 1, 2016-2019

Nombre* hebdomadaire de patients ayant consulté un médecin généraliste de ville pour une bronchiolite et seuil saisonnier, Saint-Barthélemy, juillet 2016 à janvier 2019 - Source : réseau de médecins sentinelles



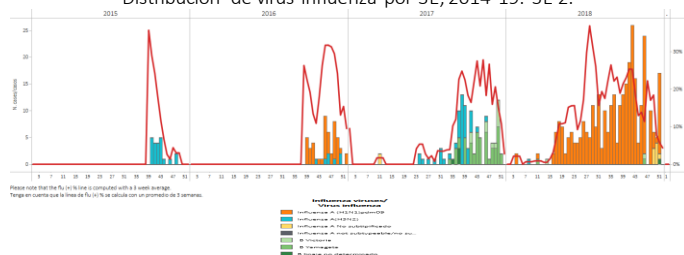
*Le nombre de cas est le nombre de patients ayant consulté un médecin généraliste pour un syndrome clinique évocateur de bronchiolite. La totale des médecins généralistes de l'île participant au réseau sentinel, ce chiffre représente l'ensemble des consultations pour bronchiolite effectuées en médecine de ville à Saint-Barthélemy. Il n'y a pas d'estimation.

Haiti

- During 2018, influenza activity began earlier than in the previous 2014-2017 seasons and peaked in EW 30. During EW 2, 2019, influenza cases decreased as compared to the previous weeks, with influenza A(H1N1)pdm09 predominating (Graph 1). As of EW 2, the number of SARI hospitalizations increased from previous weeks; and was higher than the levels observed in 2018 for the same period (Graph 2), with most of the cases among the <5 years old infants. / Durante 2018, la actividad de influenza inició más tempranamente que en las temporadas previas de 2014-2017 y presentó un pico en la SE 30. Durante la SE 2 de 2019, los casos de influenza disminuyeron en comparación a las semanas previas, con predominio de influenza A(H1N1)pdm09 (Gráfico 1). Hasta la SE 2, el número de hospitalizaciones por IRAG aumentó respecto a semanas previas; siendo superior a los niveles observados en 2018 para el mismo período (Gráfico 2); con la mayoría de los casos reportaron entre los niños <5 años de edad.

Graph 1. Haiti: Influenza virus distribution EW, 2014-19. EW 2.

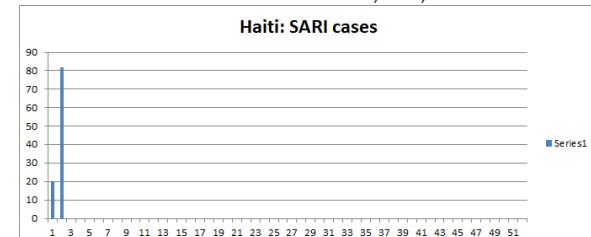
Distribución de virus influenza por SE, 2014-19. SE 2.



*To view more epi data, view [here](#). / Para ver mas datos epi, vea [aquí](#).

Graph 2. Haiti: Number of SARI cases, EW 2, 2019. /

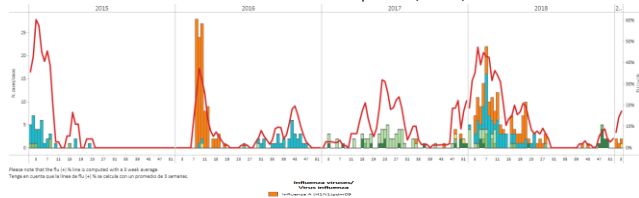
Número de casos de IRAG, SE 2, 2019.



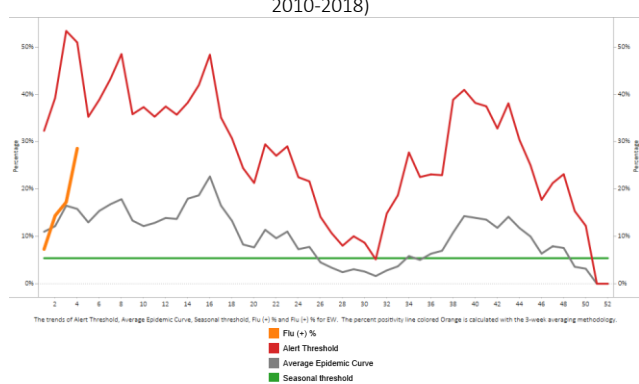
Jamaica

- During EW 3, SARI activity slightly decreased above the average epidemic curve, as compared to the 2016-2018 seasons (Graph 2). The number of ARI cases decreased from previous weeks and compared to the 2014-2018 seasons for the same period (Graph 4) During EW 49 to EW 3, 2019, few influenza B and A(H1N1)pdm09 detections were reported with no influenza cases reported in the previous two months (Graph 1). Decreased number of RSV positive samples was detected after a peak in EW 49 (Graph 2). / Durante la SE 3, la actividad de IRAG disminuyó ligeramente sobre la curva epidémica promedio, en comparación a las temporadas 2016-2018 (Gráfico 2). El número de casos de IRA disminuyó sobre el umbral estacional, respecto a las temporadas 2014-2018 para el mismo período (Gráfico 4). Durante la SE 41 a SE 3, 2019, se reportaron escasas detecciones de influenza B y A(H1N1)pdm09, sin reporte de casos de influenza en los dos meses previos (Gráfico 1). Se detectó un menor número de muestras positivas a VSR luego de un pico en la SE 49 (Gráfico 2).

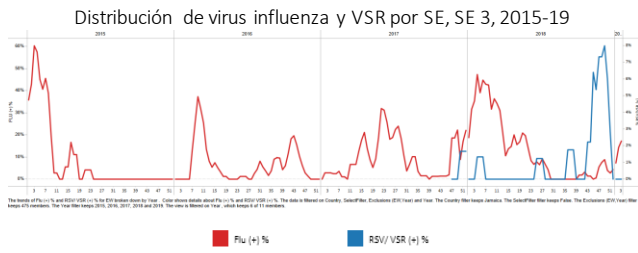
Graph 1. Jamaica: Influenza virus distribution by EW, EW 3, 2015-19
Distribución de virus influenza por SE, SE 3, 2015-19



Graph 3. Jamaica: Percent positivity for influenza, EW 3 2019 (in comparison to 2010-2018)
Porcentaje de positividad de influenza, SE 3, 2019 (en comparación a 2010-2018)

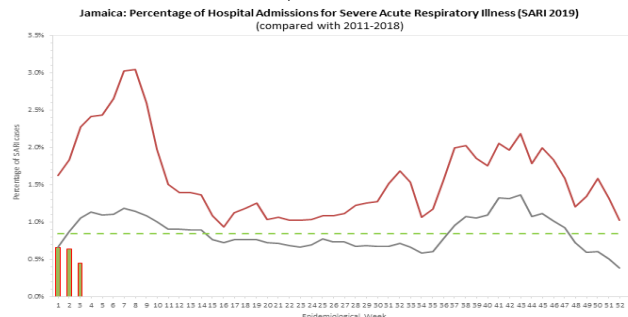


Graph 2. Jamaica: Influenza and RSV virus distribution by EW, EW 3, 2015-19
Distribución de virus influenza y VSR por SE, SE 3, 2015-19



Graph 4. Jamaica: Number of SARI hospitalizations among total hospitalizations, EW 3, 2016-2019. /

Número de hospitalizaciones por IRAG entre total de hospitalizaciones, SE 3, 2016-2019.
Jamaica: Percentage of Hospital Admissions for Severe Acute Respiratory Illness (SARI 2019) (compared with 2011-2018)



Graph 5. Jamaica: Number of ARI cases (compared to 2014-2018), EW 1 2019
Número de casos de IRA, (en comparación a 2014-2018), SE 1 2019

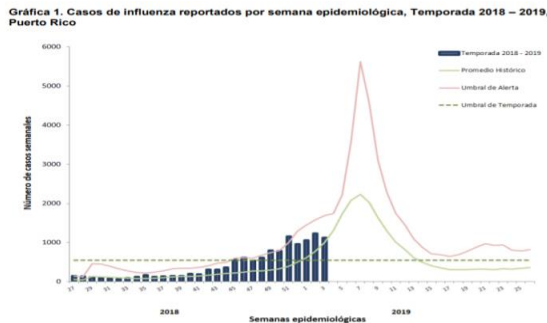


*To view more epi data, view [here](#). / Para ver mas datos epi, vea [aquí](#).

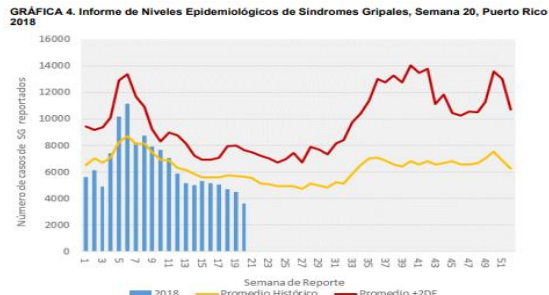
Puerto Rico

- During EW 3, increased influenza cases were detected above the seasonal threshold, with predominance of influenza A(H1N1)pdm09 (Graph 1). During EW 3, no ILI activity was reported, and it remained below the average epidemic curve up to EW 21, 2018 (Graph 2). / Durante la SE 3, se han detectado mayores casos de influenza sobre el umbral estacional, con predominio de influenza A(H1N1)pdm09 (Gráfico 1). Durante la SE 3, no se reportó actividad de ETI, y la misma permaneció por debajo de la curva epidémica media hasta la SE 21 de 2018 (Gráfico 2).

Graph 1. Puerto Rico: Influenza-positive cases by EW 3, 2018-19
Casos positivos para influenza SE 3, 2018-19



Graph 2. Puerto Rico: ILI epidemic rates by EW 20, 2018 /
Tasas de ETI por SE, SE 20, 2018.

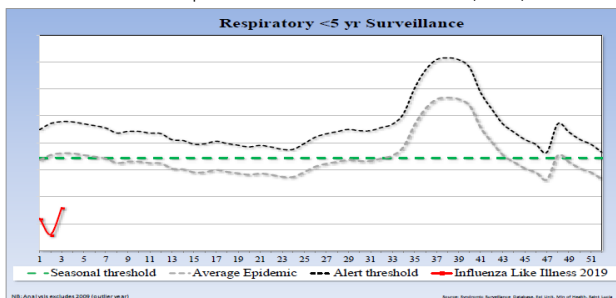


Saint Lucia

- During EW 3, the number of cases with respiratory symptoms among children under 5 years of age was below the seasonal threshold (Graph 1). During EW 49, SARI activity decreased and was lower than the levels from the 2016 season for the same period (Graph 2), with SARI admissions predominating among the 1 to 4 years of age population. No influenza activity was reported since EW 35 (Graph 3) / Durante la SE 3, el número de casos con síntomas respiratorios en niños menores de 5 años de edad se ubicó bajo el umbral estacional (Gráfico 1). Durante la SE 49, la actividad de IRAG disminuyó y fue menor que los niveles de la temporada 2016 para el mismo período (Gráfico 2), con predominio de las admisiones por IRAG entre el grupo de 1 y 4 años de edad. No se reportó actividad de influenza desde la SE 35 (Gráfico 3).

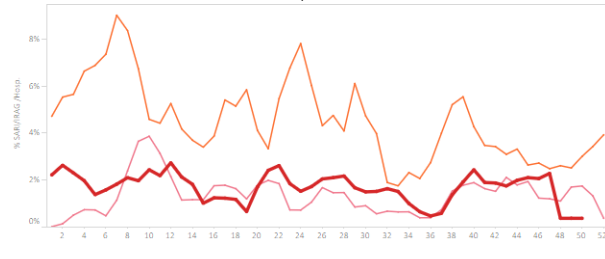
Graph 1. Saint Lucia: ILI cases distribution by EW among the < 5 years of age, EW 3, 2014-19

Distribución de ETI por SE entre los <5 años de edad, SE 3, 2014-19



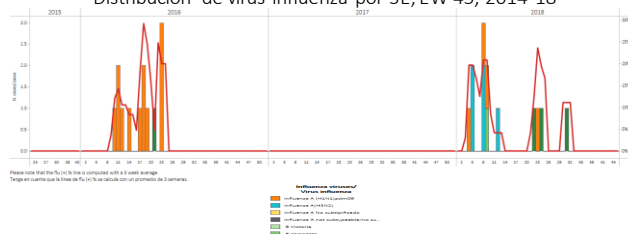
Graph 2. Saint Lucia: Percent of SARI cases per total hospitalizations by year, 2016-2018, EW 49. /

Porcentaje de casos de IRAG por todos hospitalizaciones por año, 2016-2018, SE 49.



Graph 3. St. Lucia: Influenza virus distribution by EW, EW 45, 2014-18

Distribución de virus influenza por SE, EW 45, 2014-18

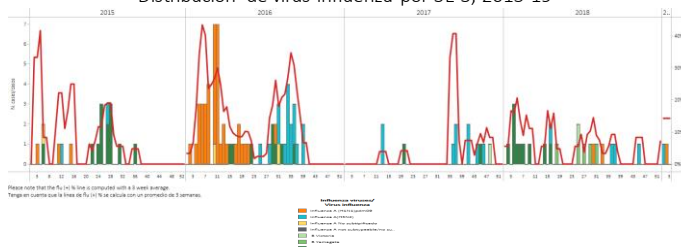


*To view more epi data, view [here](#). / Para ver mas datos epi, vea [aquí](#).

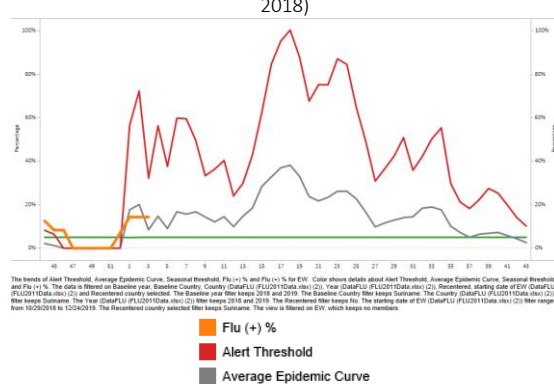
Suriname

- In EW 3, a decrease in ILI cases was reported with low activity in the last month; while SARI-related hospitalizations decreased in EW 2, 2019 and were similar to the 2016-2018 seasons for the same period (Graph 4,5). During EW 3, 2019 low influenza activity was reported, with influenza A(H3N2) circulating (Graph 1); RSV activity decreased (Graph 2). / Desde la SE 3, se reportó un descenso de casos de ETI con baja actividad en el último mes; en tanto las hospitalizaciones relacionadas con IRAG disminuyeron en la SE 1 de 2019 y fueron similares a las temporadas 2016-2018 para el mismo período (Gráfico 4,5). Durante la SE 3 de 2019, se reportó baja actividad de influenza, con circulación de influenza A(H3N2) (Gráfico 1); la actividad de VSR disminuyó (Gráfico 2).

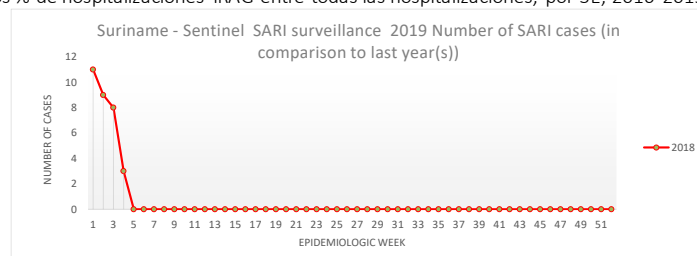
Graph 1. Suriname: Influenza virus distribution by EW 3, 2015-19
Distribución de virus influenza por SE 3, 2015-19



Graph 3. Suriname: Percent positivity for influenza, EW 3 2019 (in comparision to 2010-2018)
Porcentaje de positividad de influenza, SE 3, 2019 (en comparación a 2010-2018)



Graph 5. Suriname: % SARI hospitalizations per total hospitalizations, by EW, 2016-2019. EW 3.
Casos % de hospitalizaciones IRAG entre todas las hospitalizaciones, por SE, 2016-2019. SE 3.

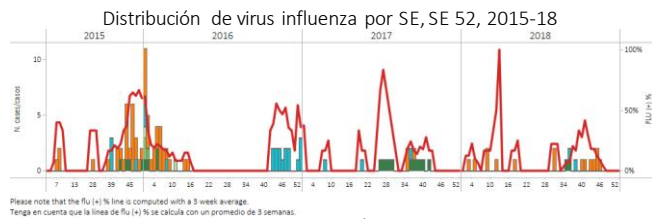


*To view more epi data, view [here](#). / Para ver mas datos epi, vea [aquí](#).

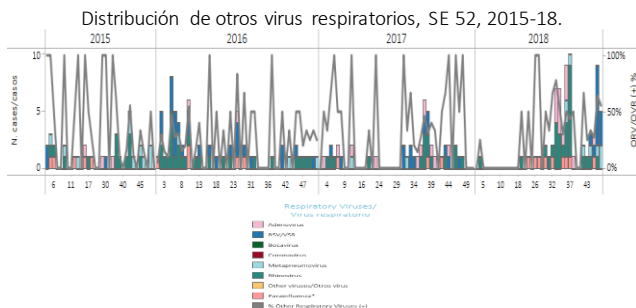
Trinidad & Tobago

- During EW 52, decreased influenza detections were reported, with influenza A(H1N1)pdm09 predominating in previous weeks (Graph 1). Rhinovirus and parainfluenza virus circulated in recent weeks, and there were no RSV detections reported (Graph 2). As of EW 45, SARI activity decreased from the previous week (Graph 3). / Durante la SE 52, se reportaron menores detecciones de influenza, con predominio de influenza A(H1N1)pdm09 en semanas previas (Gráfico 1). Rhinovirus y parainfluenza circularon en semanas recientes y no se reportaron detecciones de VSR (Gráfico 2). Hasta la SE 45, la actividad de IRAG disminuyó en relación a la semana previa (Gráfico 3).

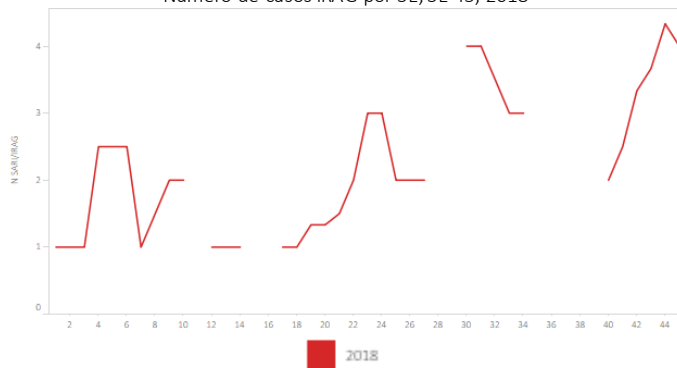
Graph 1. Trinidad & Tobago: Influenza virus distribution by EW, EW 52, 2015-18
Distribución de virus influenza por SE, SE 52, 2015-18



Graph 2. Trinidad & Tobago. Other respiratory virus distribution, EW 52, 2015-18
Distribución de otros virus respiratorios, SE 52, 2015-18



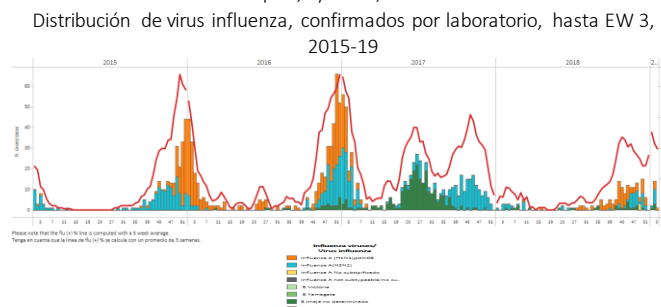
Graph 3. Trinidad & Tobago: Number of SARI cases by EW, EW 45, 2018
Número de casos IRAG por SE, SE 45, 2018



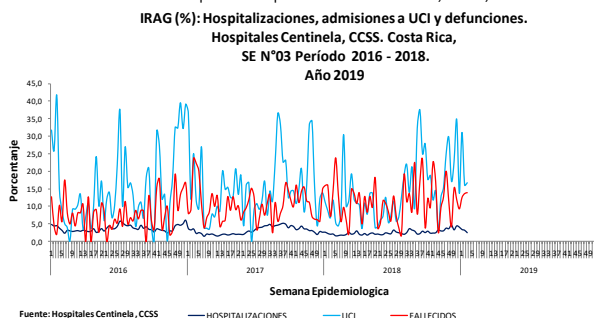
Costa Rica

- During EW 3, influenza activity slightly decreased from the previous weeks with influenza A(H3N2) predominating (Graph 1). Influenza activity during EW 3 was higher than during the 2018 season for the same period and RSV activity decreased (Graph 1, 2). In EW 3, the proportion of SARI deaths increased, while the proportion of cases with ICU admissions (17%) and SARI hospitalizations (2.5%) were lower as compared to the previous weeks (Graph 3). / Durante la SE 3, la actividad de influenza disminuyó ligeramente en relación a las semanas previas con predominio de influenza A(H3N2) (Gráfico 1). La actividad de influenza durante la SE 3 fue mayor que durante la temporada 2018 para el mismo período y la actividad de VSR disminuyó (Gráficos 1, 2). En la SE 3, la proporción de fallecidos por IRAG aumentó, en tanto la proporción de casos con admisión a UCI (17%) y de hospitalizados por IRAG (2.5%) fueron menores en comparación a las semanas previas (Gráfico 3).

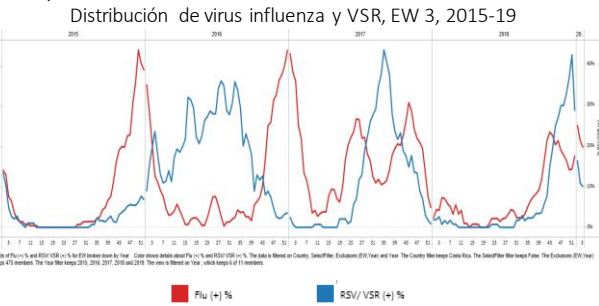
Graph 1. Costa Rica: Influenza virus distribution, Laboratory confirmed samples, by EW 3, 2015-19



Graph 3. Costa Rica: Proportion of SARI cases, ICU admissions and SARI deaths in reporting sentinel sites by year. Costa Rica, EW 3, 2015-2019
Proporción de casos de IRAG, admisiones a UCI y fallecidos por IRAG en sitios centinela reportado por año. Costa Rica, SE 3, 2015-2019

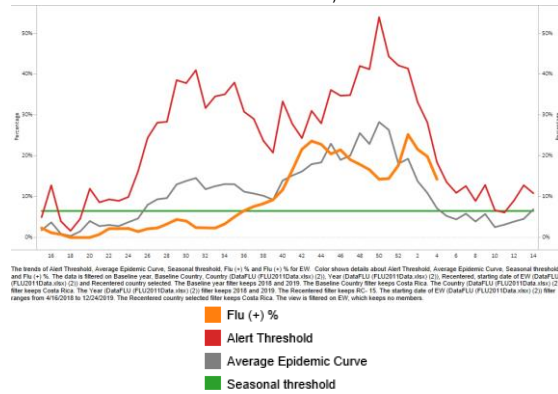


Graph 2. Costa Rica: Influenza and RSV distribution, EW 3, 2015-19



Graph 3. Costa Rica: Percent positivity for influenza, EW 3 2019 (in comparison to 2010-2018)

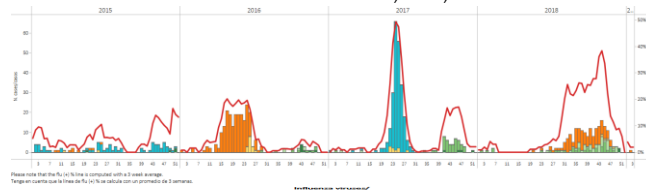
Porcentaje de positividad de influenza, SE 3, 2019 (en comparación a 2010-2018)



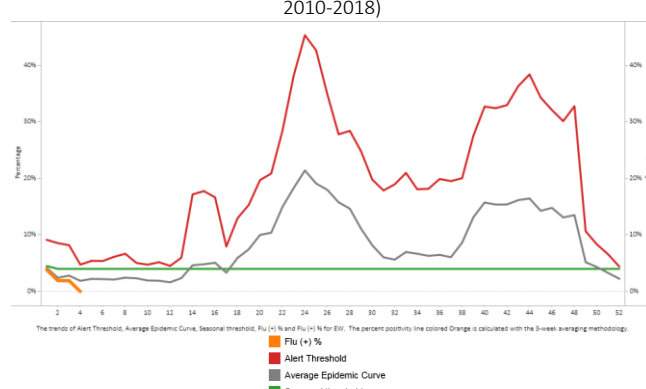
El Salvador

- During EW 3, influenza activity decreased below the average epidemic curve with influenza A(H1N1)pdm09 and B co-circulating (Graphs 1, 3). Decreased RSV detections were reported as compared to the previous season (Graph 2). During EW 2, the percentage of SARI cases decreased and were similar to levels observed in the previous seasons (Graph 4, 5); and pneumonia counts decreased from the previous weeks and were lower than during the 2016 season and similar to the levels of the 2017 season (Graph 5). / Durante la SE 3, la actividad de influenza disminuyó bajo la curva epidémica promedio con co-circulación de influenza A(H1N1)pdm09 y B (Gráficos 1, 3). Se reportaron menores detecciones de VSR en relación a la temporada anterior (Gráfico 2). Durante la SE 2, el porcentaje de casos IRAG disminuyó y fue menor a los niveles registrados en las temporadas previas (Gráfico 4); y los recuentos de neumonía disminuyeron en relación a las semanas previas y fueron menores que durante la temporada 2016 y similares a los niveles de la temporada 2017 (Gráfico 5).

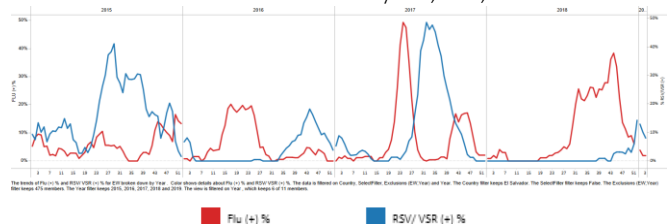
Graph 1. El Salvador: Influenza virus distribution, EW 3, 2015-19
Distribución de virus influenza, SE 3, 2015-19



Graph 3. El Salvador: Percent positivity for influenza, EW 3, 2019 (in comparision to 2010-2018)
Porcentaje de positividad de influenza, SE 3, 2019 (en comparación a 2010-2018)



Graph 2. El Salvador: Influenza and RSV distribution, EW 3, 2015-19
Distribución de virus influenza y VSR, SE 3, 2015-19



Graph 4. El Salvador: Percentage of SARI cases out of total hospitalizations, by EW, 2019. EW 2
Porcentaje de casos por IRAG de todas las hospitalizaciones, por SE- 2019, EW 2.

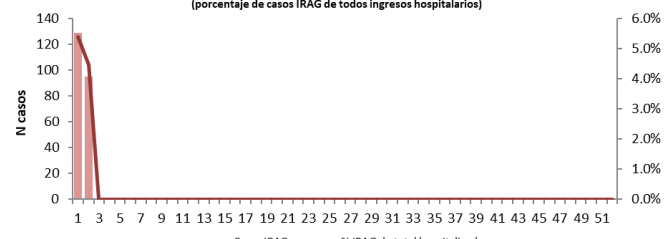
The trends of Flu (+) % and RSV/VSR (+) % for EW broken down by year. The data is Mixed in County, Selected by Exclusion (EW) and Year. The County Mix keeps El Salvador. The Selected Mix keeps El Salvador. The Exclusion (EW) Year

The trends of IRAG (+) % and RSV/VSR (+) % for EW broken down by year. The data is Mixed in County, Selected by Exclusion (EW) and Year. The County Mix keeps El Salvador. The Selected Mix keeps El Salvador. The Exclusion (EW) Year

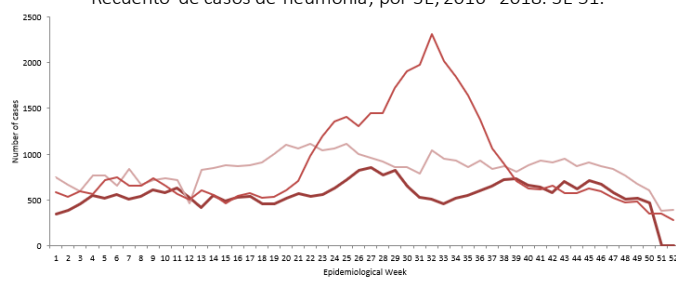
El Salvador: Vigilancia centinela de IRAG

Número de casos IRAG, 2019

(porcentaje de casos IRAG de todos ingresos hospitalarios)



Graph 5. El Salvador: Number of pneumonia cases by EW, 2016- 2018. EW 51.
Recuento de casos de neumonía, por SE, 2016- 2018. SE 51.

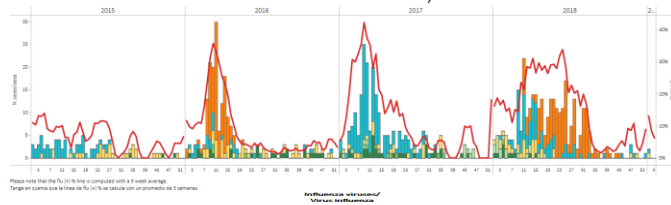


*To view more epi data, view [here](#). / Para ver mas datos epi, vea [aquí](#).

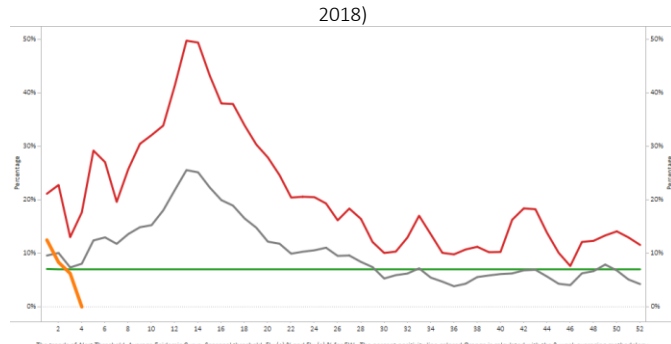
Guatemala

- During EW 3, influenza detections slightly decreased with influenza A(H3N2) circulating in recent weeks (Graph 1). Influenza positivity was below the seasonal threshold, as compared to the 2010-2018 period (Graph 3); while the RSV activity slightly decreased in the last weeks and was similar to the levels reported in the 2017 season (Graph 2). From EW 45 to EW 52, the percentage of SARI cases among all hospitalizations increased and was lower than during the 2017 season and associated to increased proportion of RSV detections compared to influenza detections (Graph 4, 5). The highest proportion of SARI cases was among <5 years old population. During EW 2, pneumonia and ARI activity increased and were slightly similar to the counts reported in the 2018 season (Graph 6, 7). / Durante la SE 3, las detecciones de influenza disminuyeron ligeramente con circulación de influenza A(H3N2) en semanas recientes (Gráfico 1). La positividad de influenza se ubicó bajo el umbral estacional, en comparación al período 2010-2018 (Gráfico 3); en tanto la actividad de VSR disminuyó en las últimas semanas y fue superior a los niveles de la temporada 2018 (Gráfico 2). Desde la SE 45 hasta la SE 52, el porcentaje de casos de IRAG del total de hospitalizaciones aumentó y fue menor que en la temporada 2017 y asociada a mayor proporción de detecciones de VSR comparado con las detecciones de influenza (Gráficos 4, 5). La mayor proporción de casos de IRAG fue entre la población de <5 años de edad (Gráfico 4). Durante la SE 2, las actividades de neumonía e IRA aumentaron y fueron ligeramente similares a los recuentos reportados en la temporada 2018 (Gráficos 6, 7).

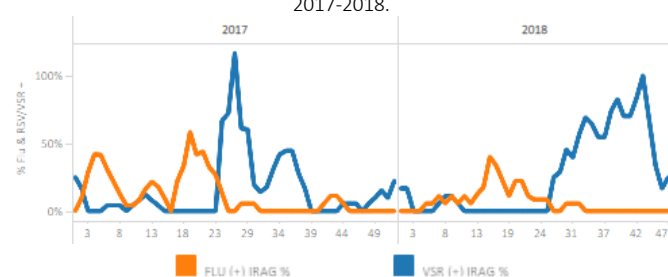
Graph 1. Guatemala. Influenza virus distribution EW 3, 2015-19
Distribución de influenza SE 3, 2015-19



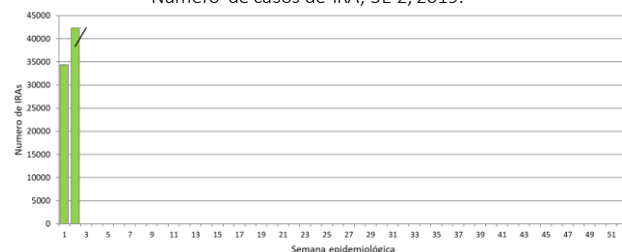
Graph 3. Guatemala: Percent positivity for influenza, EW 3, 2019 (in comparision to 2010-2018)
Porcentaje de positividad de influenza, SE 3, 2019 (en comparación con 2010-2018)



Graph 5. Guatemala: Percent positivity for influenza and RSV among SARI cases, EW 49, 2017-2018. / Porcentaje de positividad de influenza y VSR entre los casos de IRAG, SE 49, 2017-2018.



Graph 7. Guatemala: Number of ARI cases, EW 2, 2019. / Número de casos de IRA, SE 2, 2019.

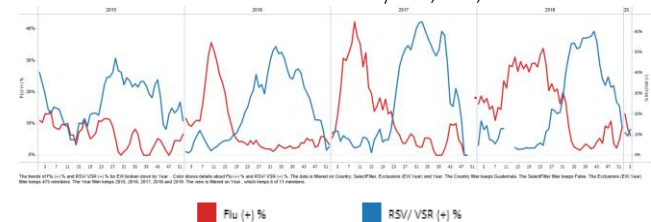


*To view more epi data, view [here](#). / Para ver mas datos epi, vea [aquí](#).

Honduras

- During EW 3, at the sentinel sites, influenza activity slightly decreased below the seasonal threshold (Graph 3) with influenza B predominating (Graph 1); decreased RSV activity was reported in the last month (Graph 2). The influenza positive cases predominated in Cortes and Francisco Morazán departments and most cases were among children under 5 years of age. During EW 4, the counts of SARI cases decreased as compared to the previous weeks and remained lower than the levels of the 2012-2018 seasons (Graph 4). / Durante la SE 3, en los sitios centinela, la actividad de influenza disminuyó ligeramente bajo el umbral estacional (Gráfico 3) con predominio de influenza A(H1N1)pdm09 (Gráfico 1); se reportó menor actividad de VSR en el último mes (Gráfico 2). Los casos positivos de influenza predominaron en los departamentos de Cortés y Francisco Morazán, y la mayoría de los casos fueron en niños menores de 5 años de edad.

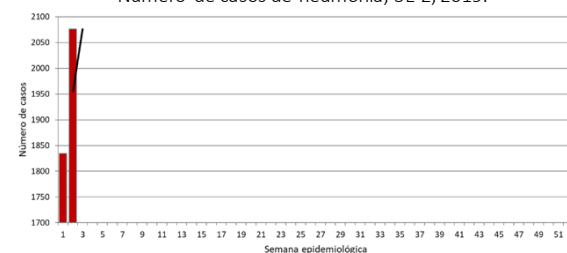
Graph 2. Guatemala: Influenza and RSV distribution, EW 3, 2015-19
Distribución de virus influenza y VSR, SE 3, 2015-19



Graph 4. Guatemala: Number of SARI cases, EW 52, 2017-2018. / Número de casos IRAG, SE 52, 2017-2018.

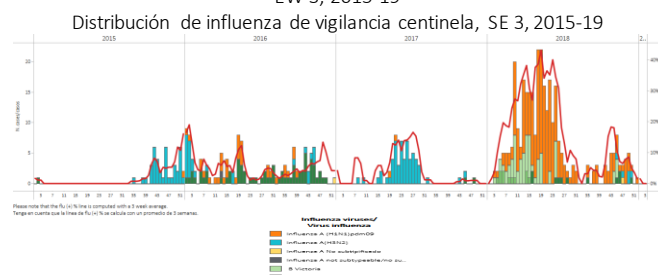


Graph 6. Guatemala: Number of pneumonia cases, EW 2, 2019. / Número de casos de neumonía, SE 2, 2019.

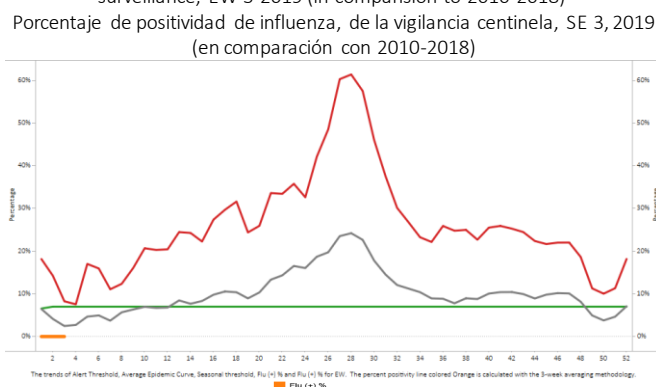


Durante la SE 4, los recuentos de casos de IRAG disminuyeron en comparación a las semanas previas y permanecieron menores a los niveles de las temporadas 2012-2018 (Gráfico 4).

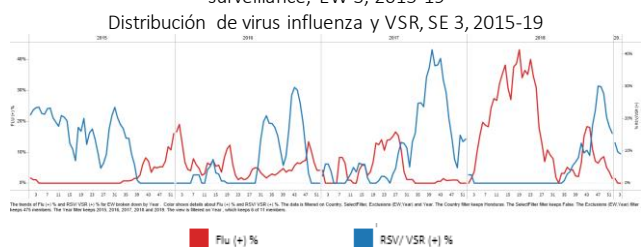
Graph 1. Honduras. Influenza virus distribution from sentinel surveillance, EW 3, 2015-19



Graph 3. Honduras : Percent positivity for influenza, from sentinel surveillance, EW 3 2019 (in comparision to 2010-2018)



Graph 2. Honduras: Influenza and RSV distribution form sentinel surveillance, EW 3, 2015-19



Graph 4. Honduras: Number of SARI cases out of total hospitalizations, EW 4, 2019. /

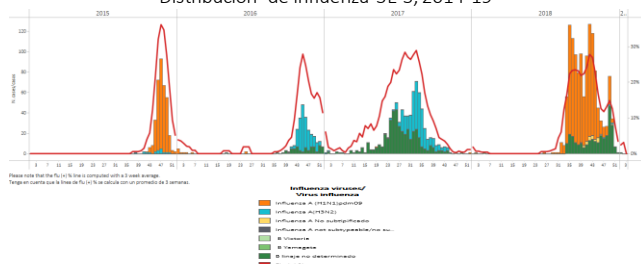
Número de casos IRAG de todas hospitalizaciones, SE 4, 2019.



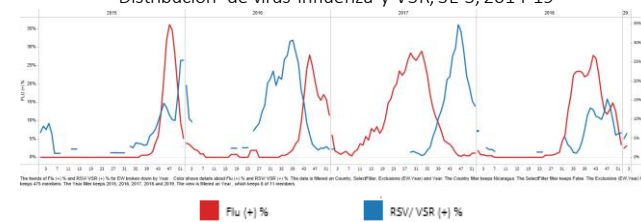
Nicaragua

- During the 2018 season, high influenza activity was reported from EW 29, 2018 to EW 45, with a downward slope in EW 3, 2019. Influenza A(H1N1)pdm09 and B activity remained elevated above the seasonal levels and the average epidemic curve (Graph 1, 3), and RSV activity slightly decreased in the last two months (Graph 2). Pneumonia case counts increased in the beginning of 2019 (Graph 4). The ARI case counts slightly increased in EW 2 and were similar to the levels reported in 2016-2018 for the same period (Graph 5). / Durante la temporada 2018, se reportó actividad elevada de influenza desde la SE 29 de 2018 hasta la SE 45, con una pendiente decreciente en la SE 3, 2019. La actividad de influenza A(H1N1)pdm09 y B permaneció elevada sobre los niveles estacionales y la curva epidémica promedio (Grafico 1), y la actividad de VSR disminuyó ligeramente en los últimos dos meses (Gráfico 2). El recuento de casos de neumonía aumentó al inicio de 2019 (Gráfico 4). Los recuentos de IRA aumentaron ligeramente en la SE 2 y fueron similares a los niveles reportados en 2016-2018 para el mismo período (Gráfico 5).

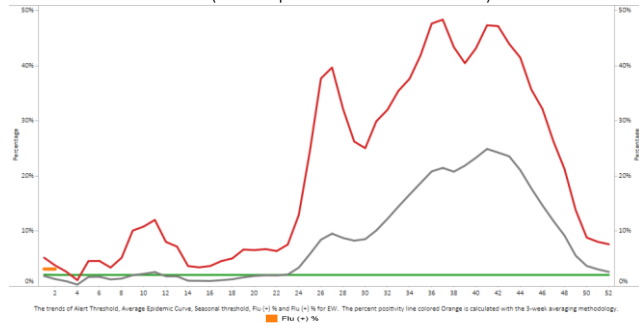
Graph 1. Nicaragua. Influenza virus distribution EW 3, 2014-19



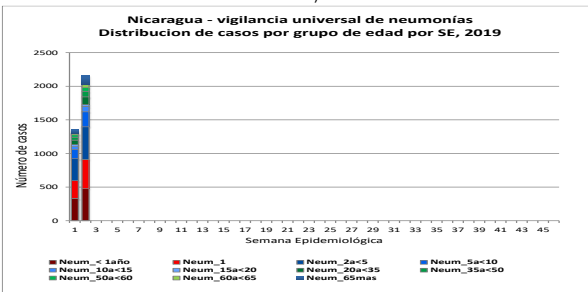
Graph 2. Nicaragua: Influenza and RSV distribution, EW 3, 2014-19



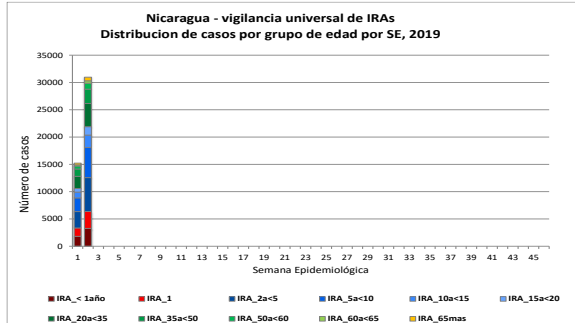
Graph 3. Nicaragua : Percent positivity for influenza, from sentinel surveillance, EW 3, 2019 (in comparision to 2010-2018)
Porcentaje de positividad de influenza, de la vigilancia centinela, SE 3, 2019 (en comparación con 2010-2018)



Graph 4. Nicaragua : Number of pneumonia cases, EW 3, 2019 (in comparison to 2014-2018) / Número de casos de neumonía, SE 3, 2019 (en comparación a 2014-2018)

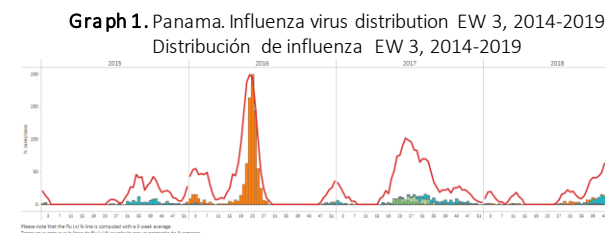


Graph 5. Nicaragua : Number of ARI cases, EW 3, 2019 (in comparison to 2014-2018) / Número de casos de IRA, EW 3, 2019 (in comparison to 2014-2018)

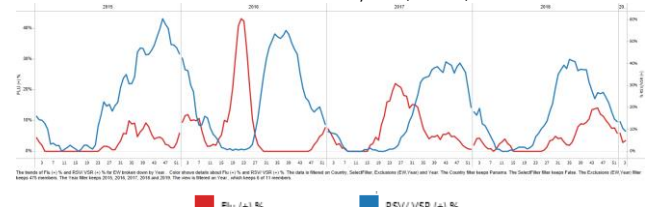


Panama

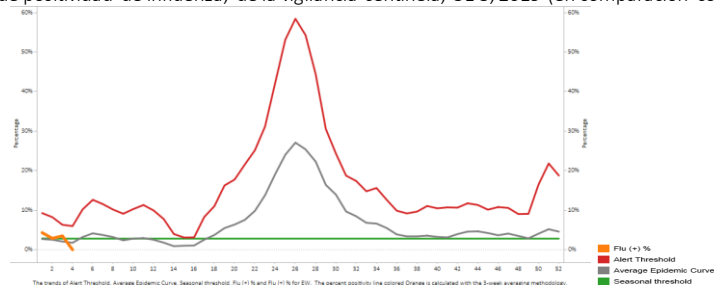
- During the 2018 season, at the national level, influenza activity remained at low levels. In EW 3, 2019, decreased influenza percent of positivity was reported with influenza A(H3N2) predominance (Graph 1). RSV detections slightly decreased as compared to previous weeks (Graph 2). / Durante la temporada 2018, a nivel nacional, la actividad de influenza permaneció a niveles bajos. En la SE 3 de 2019, se han reportado menor porcentaje de positividad de influenza con predominio de influenza A(H3N2) (Gráfico 1). Las detecciones de VSR disminuyeron ligeramente respecto a las semanas previas (Gráfico 2).



Graph 2. Panama: Influenza and RSV distribution, EW 3, 2014-2019
Distribución de virus influenza y VSR, EW 3, 2014-2019



Graph 3. Panama : Percent positivity for influenza, from sentinel surveillance, EW 3, 2019 (in comparision to 2010-2018)
Porcentaje de positividad de influenza, de la vigilancia centinela, SE 3, 2019 (en comparación con 2010-2018)

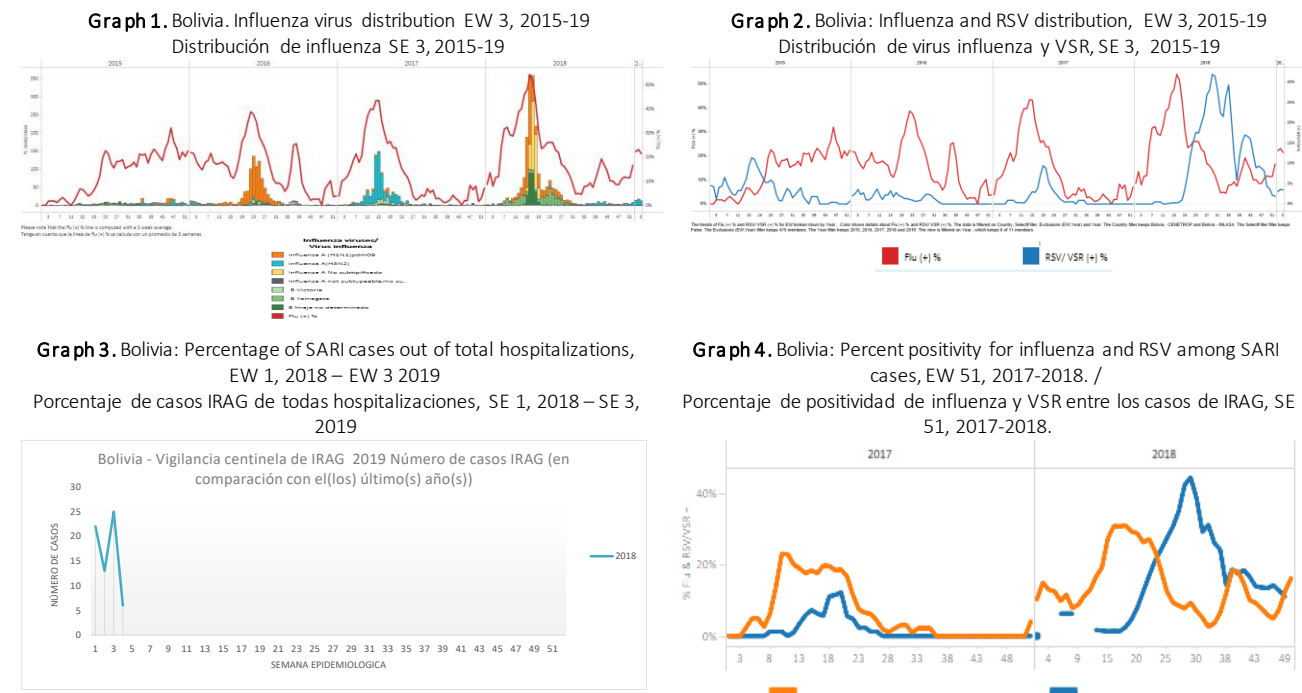


*To view more epi data, view [here](#). / Para ver mas datos epi, vea [aquí](#).

South America / América del Sur – Andean countries / Países andinos:

Bolivia

- During EW 3 and in recent weeks, at the national level, the percentage of SARI cases remained low and was slightly higher than the levels observed in the 2018 season for the same period (Graph 3); with RSV percent positivity among SARI cases similar to the influenza positivity (Graph 4). Influenza activity slightly decreased from the previous week in Santa Cruz with influenza A(H3N2) circulating (Graph 1). RSV activity peaked during EW 29 with a downward slope and low activity since EW 33 (Graph 2). In La Paz and Santa Cruz, in EW 52, the number of SARI cases decreased below the seasonal levels from previous weeks, with influenza B and A co-circulating (Graph 3). / Durante la SE 3 y en semanas recientes, a nivel nacional, el porcentaje de IRAG permaneció bajo y fue ligeramente mayor que los niveles observados en la temporada 2018 para el mismo período (Grafico 3); con un porcentaje de positividad de VSR entre los casos de IRAG similar a la positividad de influenza (Gráfico 4). La actividad de influenza disminuyó ligeramente respecto a la semana previa en Santa Cruz, con circulación de influenza A(H3N2) (Gráfico 1). La actividad del VSR llegó a su pico en la SE 29 con una pendiente descendiente y baja actividad desde la SE 33 (Gráfico 2). En La Paz y en Santa Cruz, en la SE 3, el recuento de casos de IRAG disminuyó por debajo del nivel estacional en relación a semanas previas, con co-circulación de influenza B y A (Gráfico 3)

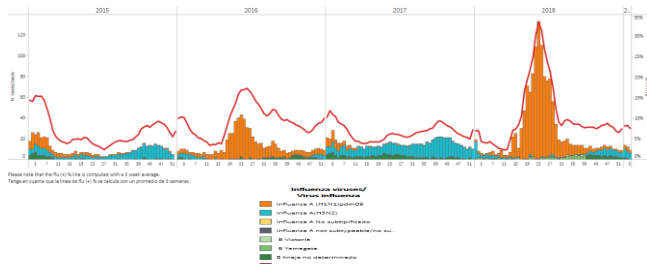


*To view more epi data, view [here](#). / Para ver más datos epi, vea [aquí](#).

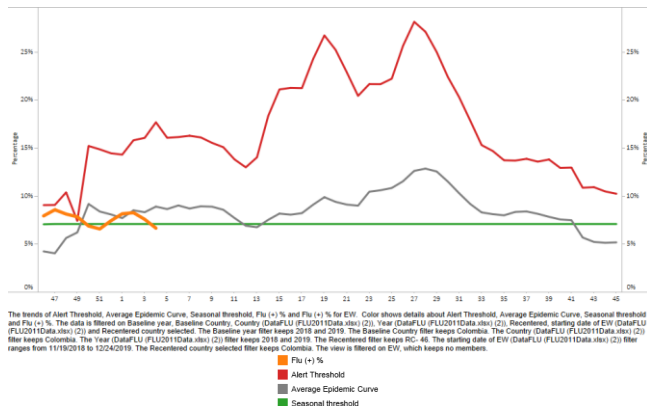
Colombia

- During EW 3, at national level, SARI case counts were low as compared to the previous seasons for the same period (Graph 4). In EW 3, influenza activity slightly decreased as compared to the previous weeks with influenza A(H3N2) and A(H1N1)pdm09 co-circulating (Graphs 1, 3); while RSV percent positivity slightly decreased (Graph 2). During EW 1, pneumonia activity was below the seasonal levels for the period and ARI activity increased above the alert threshold in EW 2 (Graph 5, 6). / En la SE 3, a nivel nacional, el número de casos de IRAG fue bajo en comparación a las temporadas previas para el mismo período (Grafico 4). Durante la SE 3, la actividad de influenza disminuyó ligeramente en comparación a las semanas anteriores con circulación de influenza A(H3N2) y A(H1N1)pdm09 (Gráficos 1, 3); en tanto la positividad de VSR disminuyó ligeramente (Gráfico 2). Durante la SE 1, la actividad de neumonía se ubicó bajo los niveles estacionales para el período y la actividad de IRA aumentó sobre el umbral de alerta (Gráficos 5, 6).

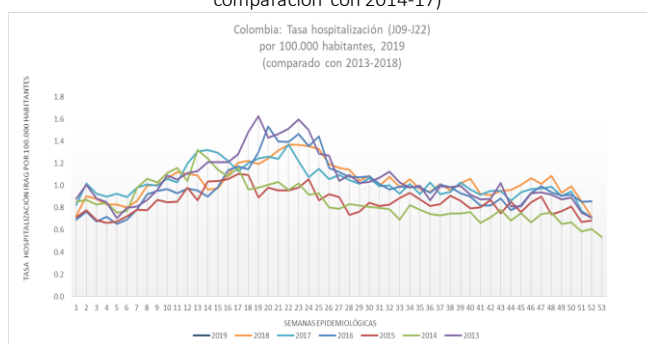
Graph 1. Colombia. Influenza virus distribution EW 3, 2015-19
Distribución de virus influenza SE 3 2015-19



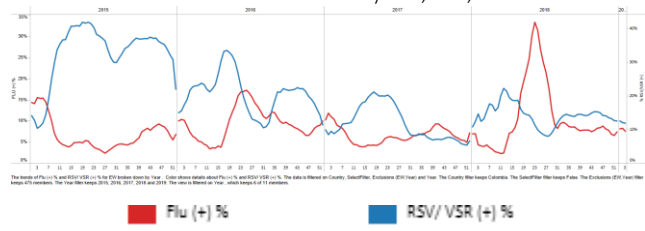
Graph 3. Colombia: Percent positivity for influenza, EW 3, 2018-19 (in comparision to 2010-2018)
Porcentaje de positividad de influenza, EW 3, 2018-19 (in comparision to 2010-2018)



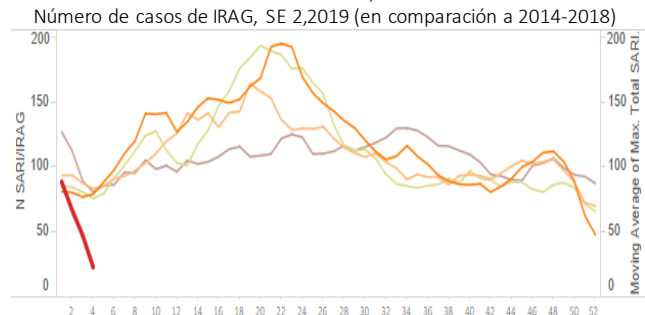
Graph 5. Colombia: Number of pneumonia-related hospitalizations, by EW 1,2019 (in comparison with 2014-17)
Número de hospitalización asociado a neumonía, por SE 1,2019 (en comparación con 2014-17)



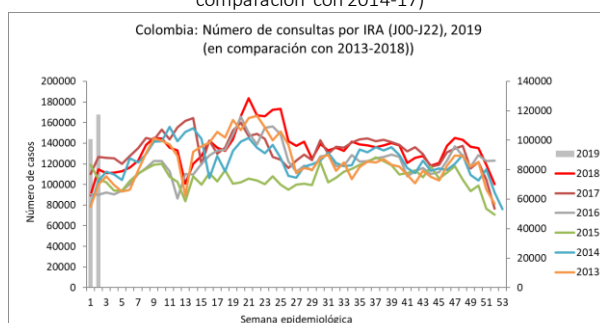
Graph 2. Colombia: Influenza and RSV distribution, EW 3, 2015-19
Distribución de virus influenza y VSR, SE 3, 2015-19



Graph 4. Colombia: Number of SARI cases, EW 2,2019 (in comparison to 2014-2018)
Número de casos de IRAG, SE 2,2019 (en comparación a 2014-2018)



Graph 6. Colombia: Number of ARI cases, EW 2 2019 (from all consultations), (in comparison with 2014-17)
Número de los casos IRA, SE 2 2019 (de todas consultas), (en comparación con 2014-17)

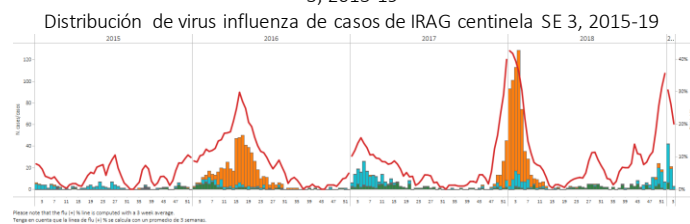


*To view more epi data, view [here](#). / Para ver mas datos epi, vea [aquí](#).

Ecuador

- During EW 1, at national level, the proportion of SARI cases, the ICU admissions and deaths proportions among all hospitalizations increased from previous weeks and remained slightly higher than the levels observed during the 2016 - 2018 seasons for the same period (Graph 4). During EW 3, influenza activity decreased above the seasonal threshold, as compared to the previous weeks with influenza A(H3N2) predominating (Graph 2). Influenza percent positivity was similar to the levels reported during the prior season for the same period, with decreased RSV activity (Graph 1, 2). / Durante la SE 1, a nivel nacional, la proporción de casos de IRAG, admisiones a UCI y fallecidos sobre el total de hospitalizaciones aumentó en relación con semanas previas y se mantuvo ligeramente superior a los niveles observados durante 2016-2017 para el mismo período (Gráfico 4). En la SE 3, la actividad de influenza disminuyó en comparación con las semanas previas sobre el umbral estacional, con predominio de influenza A(H3N2) (Gráfico 2). El porcentaje de positividad de influenza fue similar a los niveles registrados en la temporada previa para el mismo período, con baja actividad de VSR (Gráficos 1, 2).

Graph 1. Ecuador: Influenza virus distribution from SARI sentinel cases by EW 3, 2015-19

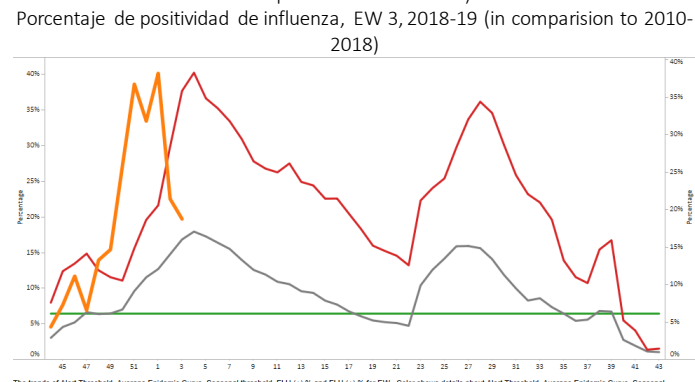


Please note that the Flu (+) line is computed with a 8 week average

Tenga en cuenta que la linea de Flu (+) es calculada con un promedio de 8 semanas

2015 2016 2017 2018 2019

Graph 3. Ecuador: Percent positivity for influenza, EW 3, 2018-19 (in comparision to 2010-2018)

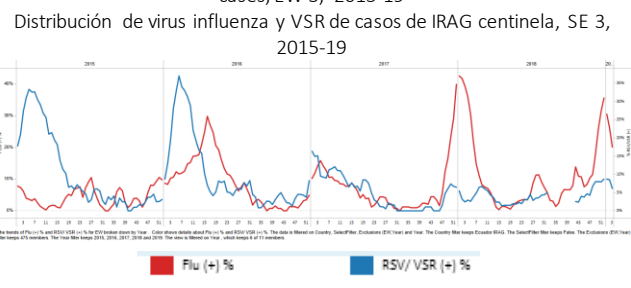


The trends of Alert Threshold, Average Epidemic Curve, Seasonal threshold, FLU (+) % and FLU (+) % for EW. Colours details about Alert Threshold, Average Epidemic Curve, Seasonal threshold and the Year. The Year filter keeps the year. Baseline year filter keeps 2010-2011. The Baseline Country filter keeps Ecuador. The Country (DataFLU (FLU2011Data.xlsx) (2)) filter keeps Ecuador IRAG. The Year (DataFLU (FLU2011Data.xlsx) (2)) filter keeps 2018 and 2019. The Recentered filter keeps RC_44. The starting date of EW (DataFLU (FLU2011Data.xlsx) (2)) filter keeps Ecuador. The Recentered filter keeps Ecuador. The view is filtered on EW, which keeps no members.

Flu (+) %
Alert Threshold
Average Epidemic Curve
Seasonal threshold

*To view more epi data, view [here](#). / Para ver mas datos epi, vea [aquí](#).

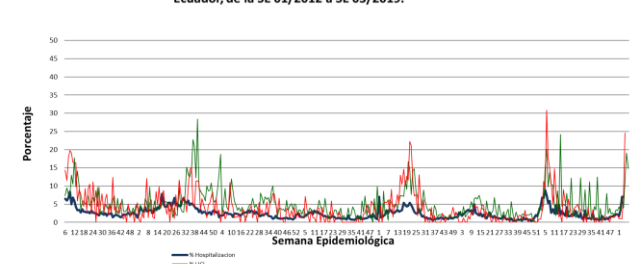
Graph 2. Ecuador: Influenza and RSV distribution from SARI sentinel cases, EW 3, 2015-19



Graph 4. Ecuador: Proportion of SARI cases, ICU admissions and deaths by EW, as of EW 1, 2019 (compared to 2012-2017)

Proporción de casos de IRAG, admisiones a UCI y muertes por SE, hasta la SE 1, 2019 (en comparacion a 2012-2017)

IRAG(%): hospitalizaciones, admisiones a UCI y Fallecidos.
Ecuador, de la SE 01/2012 a SE 03/2019.

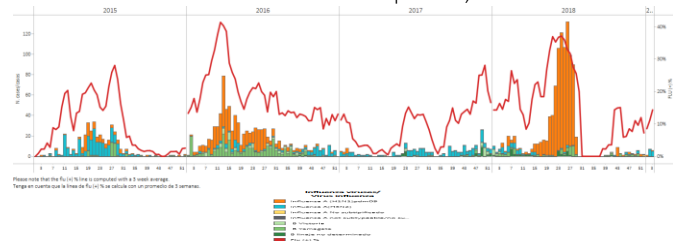


Peru

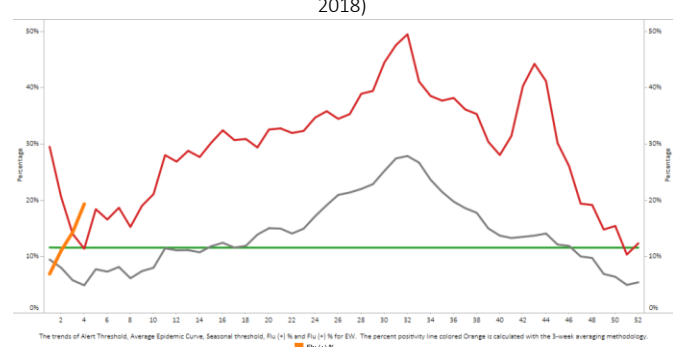
- During EW 4, at national level, SARI case counts among all hospitalizations decreased from previous weeks and remained lower than the 2015-2018 seasons for the same period (Graph 4). In EW 3, influenza activity slightly increased above the alert threshold, with influenza A(H3N2) circulating and overall few detections (Graph 1,3). Few RSV detections were reported in EW 3, 2019 and the activity was lower than levels observed in 2018 for the same period (Graph 2). During SE 52, at the national level, ARI case counts among the under 5 years of age population slightly decreased and were similar to the levels observed in 2016-2018 for the same period (Graph 5). Likewise, the pneumonia case counts in infants under 5 years of age slightly decreased and was higher than the counts reported in 2016-2018 for the same period (Graph 6). During EW 48, 16 departments reported pneumonia cumulative cases among the under 5 years of age children higher than the median of the 2013-2017 seasons for the same period: Amazonas, Ancash, Apurimac, Arequipa, Callao, Cusco, Huanuco, La Libertad, Lima, Madre de Dios, Moquegua, Pasco, Puno, Tacna, Tumbes and Ucayali*. En la SE 4, a nivel nacional, el número de casos de IRAG entre el total de hospitalizaciones disminuyó respecto a los niveles de semanas previas y se mantuvo menor a lo observado en las temporadas 2015-2018 para el mismo período (Gráfico 4). Durante la SE 3, la actividad de influenza aumentó ligeramente sobre el umbral de alerta, con circulación de influenza A(H3N2) y escasas muestras en general (Gráficos 1,3). Se reportaron escasas detecciones de VSR en la SE 3 de 2019, y la actividad fue menor a los niveles observados en 2018 para el mismo período (Gráfico 2). Durante la SE 52, a nivel nacional, el recuento de casos de IRA en la población de menores de 5 años disminuyó ligeramente y fue similar a los niveles observados en 2016-2018 para el mismo período (Gráfico 5). Así mismo, el recuento de casos de neumonía en niños menores de 5 años disminuyó ligeramente y fue superior a los recuentos reportados en 2016-2018 para el mismo período (Gráfico 6). Durante la SE 48, 16 departamentos reportaron recuento de casos de neumonía en niños menores de 5 años superior a la mediana de las temporadas 2013-2017 para el mismo período: Amazonas, Ancash, Apurimac, Arequipa, Callao, Cusco, Huanuco, La Libertad, Lima, Madre de Dios, Moquegua, Pasco, Puno, Tacna, Tumbes y Ucayali *

*Online report/ informe de línea

Graph 1. Peru: Influenza virus distribution by EW 3, 2015-19
Distribución de virus influenza por SE 3, 2015-19



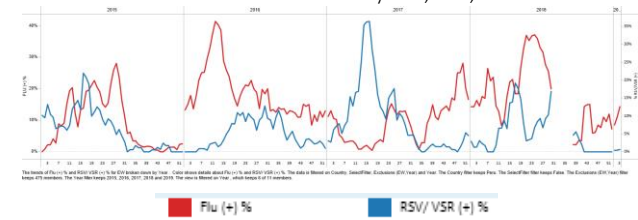
Graph 3. Perú: Percent positivity for influenza, EW 3, 2019 (in comparision to 2010-2018)
Porcentaje de positividad de influenza, EW 3, 2019 (in comparision to 2010-2018)



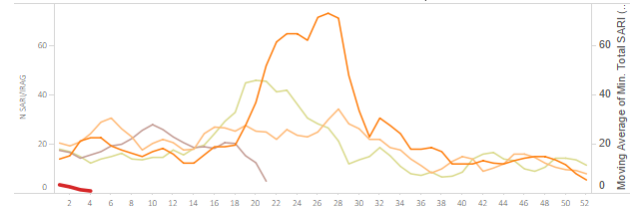
Graph 5. Peru. ARI cases in children under 5 years, by EW 52, 2018
Casos de IRA en niños menores de 5 años, por SE 52, 2018.



Graph 2. Peru: Influenza and RSV distribution, EW 3, 2015-19
Distribución de virus influenza y VSR, SE 3, 2015-19



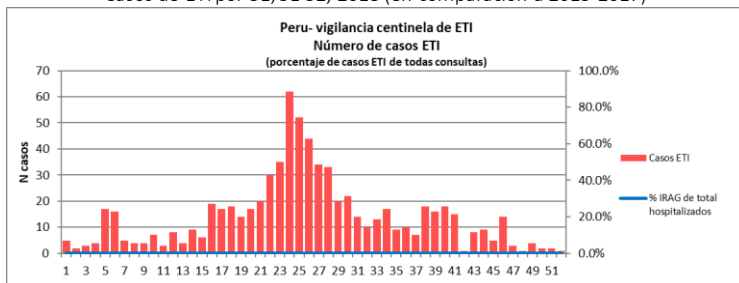
Graph 4. Peru: Number of SARI cases with samples, by EW 4, 2019
Número de casos IRAG con muestras, por SE 4, 2019



Graph 6. Peru: Pneumonia cases in children under 5 years, by EW 52, 2018
Casos de neumonía en niños menores de 5 años, por SE 52, 2018



Graph 7. Peru: ILI cases, by EW, EW 52, 2018 (in comparision to 2015-2017)
Casos de ETI por SE, SE 52, 2018 (en comparación a 2015-2017)

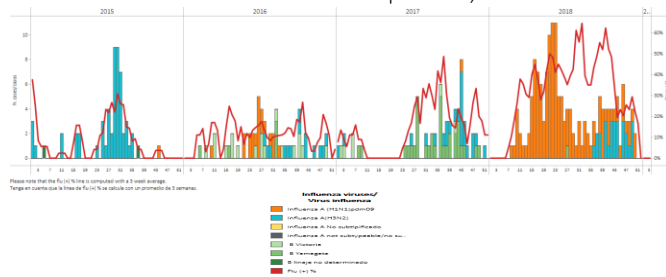


*To view more epi data, view [here](#). / Para ver mas datos epi, vea [aquí](#).

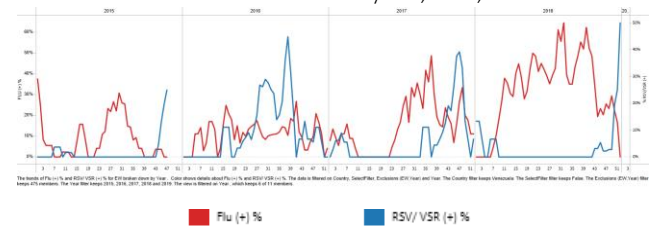
Venezuela

- During EW 52, influenza activity decreased with influenza A(H3N2) predominating (Graph 1, 2). From EW 42 to EW 52, RSV activity peaked and was higher than the levels reported in 2015-2017 for the same period (Graph 2). / En la SE 52, la actividad de influenza disminuyó con predominio de influenza A(H3N2) (Gráficos 1, 2). Desde la SE 42 hasta la SE 52, la actividad de VSR llegó a su pico y fue superior a los niveles reportados en 2015-2017 para el mismo periodo (Gráfico 2).

Graph 1. Venezuela: Influenza virus distribution by EW 52, 2015-18
Distribución de virus influenza por SE 52, 2015-18



Graph 2. Venezuela: Influenza and RSV distribution, EW 52, 2015-18
Distribución de virus influenza y VSR, SE 52, 2015-18



Argentina

- During EW 52, at national level, the counts of SARI and pneumonia cases decreased and were lower than the 2012-2017 seasons for the same period (Graph 2, 6). During EW 52, ILI activity was also low for the period (Graph 1). During EW 52, influenza activity decreased as compared with the previous weeks with overall few samples tested (Graphs 3, 5). RSV positivity decreased and was similar to the levels reported during the previous season for the same period (Graph 4). During 2018, 81 influenza-associated deaths were reported, lower than the levels observed during the 2017 season for the same period (114 influenza-associated deaths), mostly among the 60 years of age population and older and with risk factors (70%). / Durante la SE 52, a nivel nacional los recuentos de IRAG y neumonía disminuyeron y fueron menores que durante las temporadas 2012-2017 para el mismo período (Gráficos 2, 6). Durante la SE 52, la actividad de ETI fue baja para el período (Gráfico 1). Durante la SE 52, la actividad de influenza disminuyó en comparación con semanas previas, con recuento bajo de muestras estudiadas (Gráficos 3, 5). El porcentaje de positividad para VSR disminuyó y fue similar a lo registrado en la temporada previa para el mismo período (Gráficos 4). Durante 2018, se reportaron 81 fallecidos asociados a influenza, menor a los niveles observados durante la temporada 2017 para el mismo período (114 muertes asociadas a influenza), en su mayoría entre la población de 60 años de edad y más, y con factores de riesgo (70%).

Graph 1. Argentina. Number of ILI cases from national surveillance by EW, EW 1-52, 2018 (compared to 2012-2017) /

Número de casos de ETI de vigilancia nacional, SE 1- 52, 2018 (en comparación a 2012-2017)



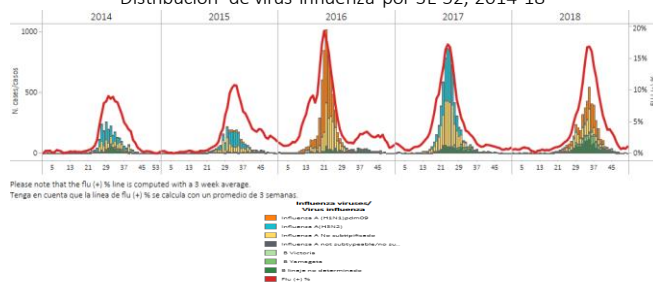
Graph 2. Argentina. Number of SARI cases from national surveillance by EW, EW 1-52, 2018 (compared to 2012-2017) /

Número de casos de IRAG de vigilancia nacional, SE 1- 52, 2018 (en comparación a 2012-2017)



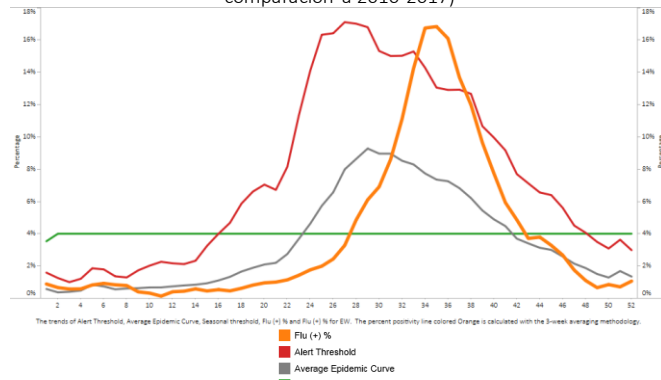
Graph 3. Argentina. Influenza virus distribution by EW 52, 2014-18

Distribución de virus influenza por SE 52, 2014-18



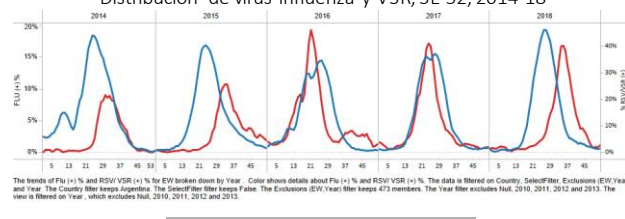
Graph 5. Argentina: Baseline for the percent positivity for influenza, EW 52, 2018 (in comparison to 2010-2017)

Línea basal para el porcentaje de positividad de influenza, SE 52, 2018 (en comparación a 2010-2017)



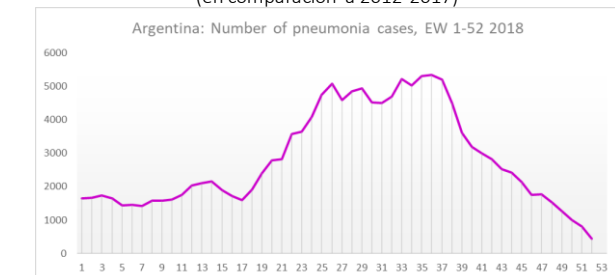
Graph 4. Argentina: Influenza and RSV distribution, EW 52, 2014-18

Distribución de virus influenza y VSR, SE 52, 2014-18



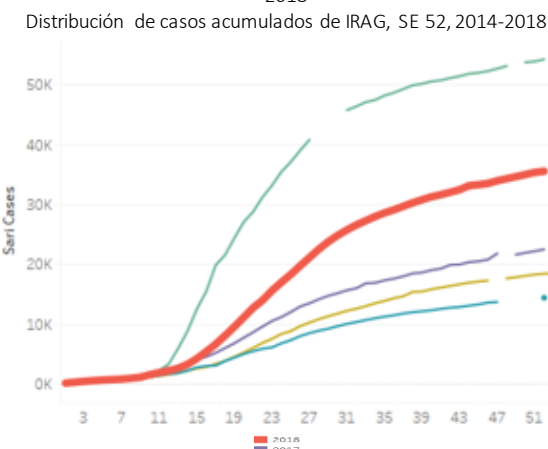
Graph 6. Argentina. Number of pneumonia cases from national surveillance by EW, EW 1-52, 2018 (compared to 2012-2017) /

Número de casos de neumonía de vigilancia nacional, SE 1- 52, 2018 (en comparación a 2012-2017)

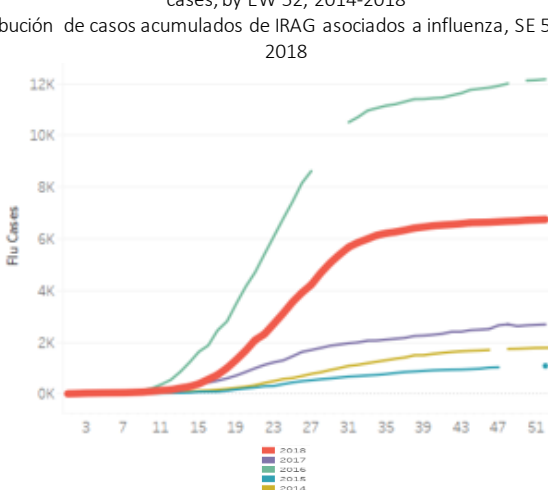


- In Brazil, during EW 52, cumulative SARI hospitalizations and deaths increased and were lower than in 2016 but higher than the other seasons for the same period (Graphs 1,2). During EW 52, the SARI case counts out of all hospitalizations were lower than in previous weeks and the 2015-2017 seasons (Graph 10). The cumulative number of influenza-associated SARI cases and SARI deaths were higher than the counts reported in 2017 and less than in 2016 (Graph 3,4). During EW 3, a slight decrease in the detection of influenza positive cases was reported by the three NICs with influenza B predominating; while RSV detections increased in recent weeks (Graph 5-9). During EW 52, 8 states reported higher cumulative influenza-associated SARI/ILI case counts than the historic average 2014-2017 (≥ 2 standard deviation above): Bahia, Ceará, Maranhao, Pernambuco, Piaui, Rio Grande do Norte, Sergipe, and Tocantins (Graph 11). In EW 52, 8 states reported higher cumulative influenza-associated SARI/ILI deaths counts than the historic average 2014-2017 (> 1 standard deviation above): Bahia, Ceará, Maranhao, Pernambuco, Piaui, Rio Grande do Norte, Sergipe and Tocantins (Graph 12). / En Brasil, en la SE 52, las hospitalizaciones y los casos fallecidos por IRAG acumulados aumentaron y fueron menores que en 2016 pero superiores a las restantes temporadas para el mismo período (Gráficos 1, 2). Durante la SE 52, el recuento de casos de IRAG sobre el total de hospitalizaciones fue menor que las semanas previas y las temporadas 2015-2017 para el mismo período (Gráfico 10). El número acumulado de casos de IRAG por influenza y de casos fallecidos asociados a influenza fueron superiores a los recuentos de 2017 y menores a los recuentos reportados en 2016 (Gráficos 3, 4). En la semana 3, se ha detectado un ligero descenso de los casos positivos de influenza reportados por los tres NICs, con predominio de influenza B; en tanto las detecciones de VSR aumentaron en las últimas semanas (Gráficos 5-9). Durante la SE 52, 8 estados reportaron elevados recuentos acumulados de IRAG/ETI asociados a influenza en comparación al promedio histórico 2014-2017 (≥ 2 desviación estándar arriba): Bahia, Ceará, Maranhao, Pernambuco, Piaui, Rio Grande do Norte, Sergipe, y Tocantins (Gráfico 11). En la SE 52, 8 estados reportaron elevados recuentos acumulados de fallecidos por IRAG/ETI asociados a influenza en comparación al promedio histórico 2014-2017 (> 1 desviación estándar arriba): Bahia, Ceará, Maranhao, Pernambuco, Piaui, Rio Grande do Norte, Sergipe y Tocantins (Gráfico 12).

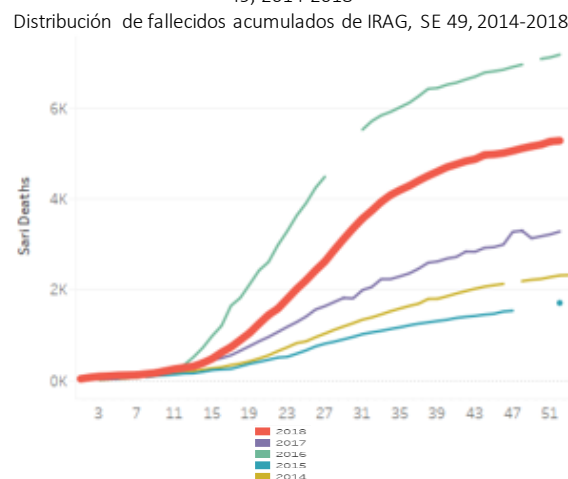
Graph 1. Brazil. Distribution of cumulative SARI-related cases, by EW 52, 2014-2018



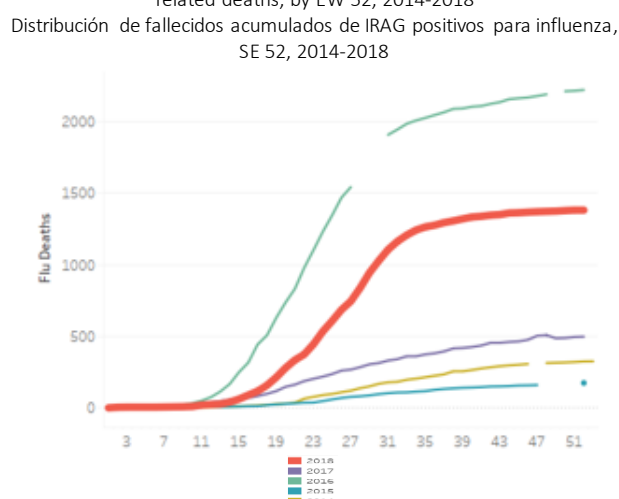
Graph 3. Brazil. Distribution of cumulative influenza-associated SARI-related cases, by EW 52, 2014-2018



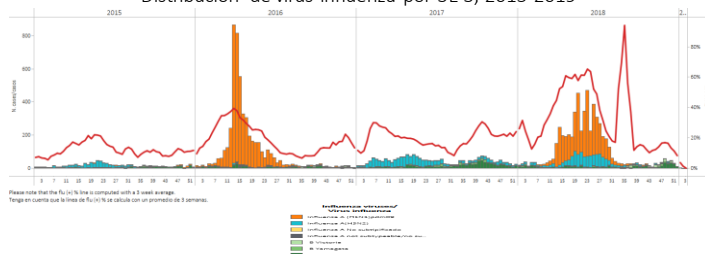
Graph 2. Brazil. Distribution of cumulative SARI-related deaths, by EW 49, 2014-2018



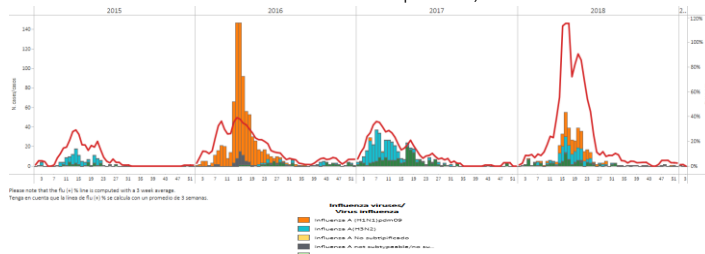
Graph 4. Brazil. Distribution of cumulative influenza-positive SARI-related deaths, by EW 52, 2014-2018



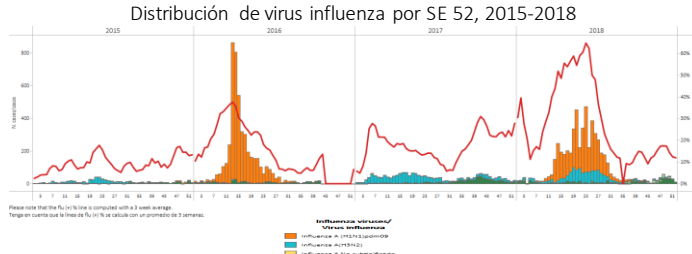
Graph 5. Brazil- All NICs. Influenza virus distribution by EW 3, 2015-2019
Distribución de virus influenza por SE 3, 2015-2019



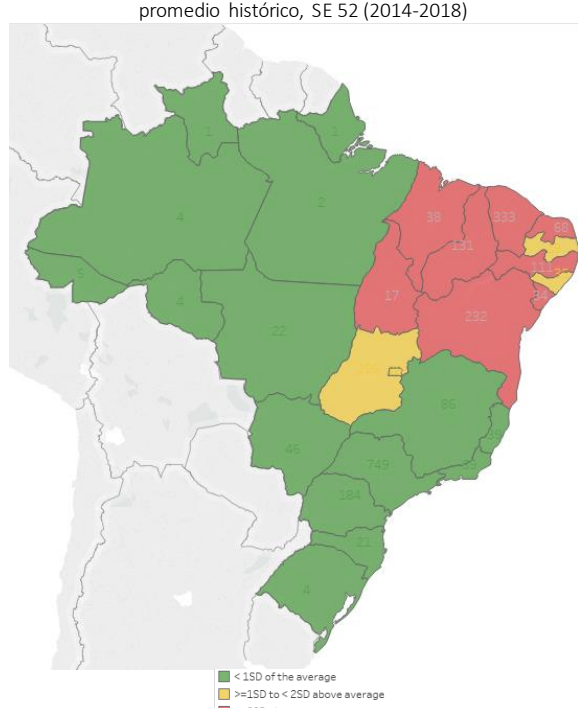
Graph 7. Brazil - NIC IEC. Influenza virus distribution by EW 3, 2015-2019
Distribución de virus influenza por SE 3, 2015-2019



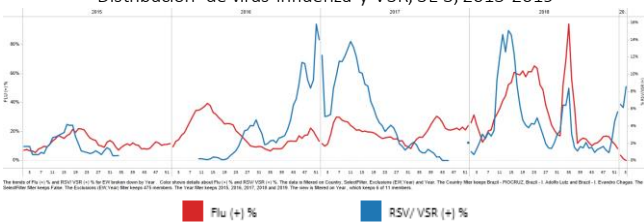
Graph 9. Brazil- NIC Adolfo Lutz. Influenza virus distribution by EW 52, 2015-2018
Distribución de virus influenza por SE 52, 2015-2018



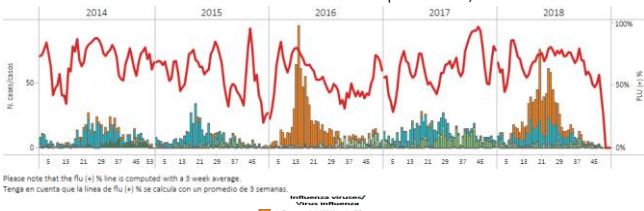
Graph 11. Brazil: Cumulative counts of influenza-associated SARI cases greater than historic average, EW 52 (2014-2018)
Recuentos acumulados de casos de IRAG asociados a influenza mayor al promedio histórico, SE 52 (2014-2018)



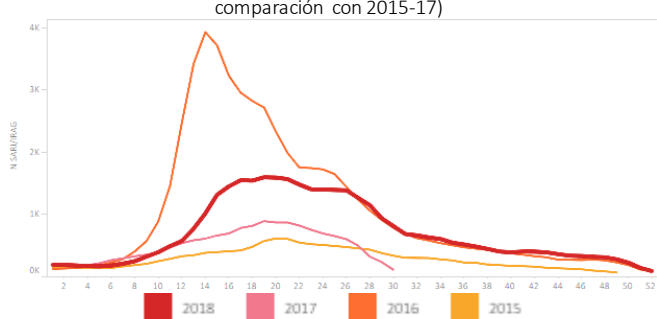
Graph 6. Brazil – All NICs: Influenza and RSV distribution, EW 3, 2015-2019
Distribución de virus influenza y VSR, SE 3, 2015-2019



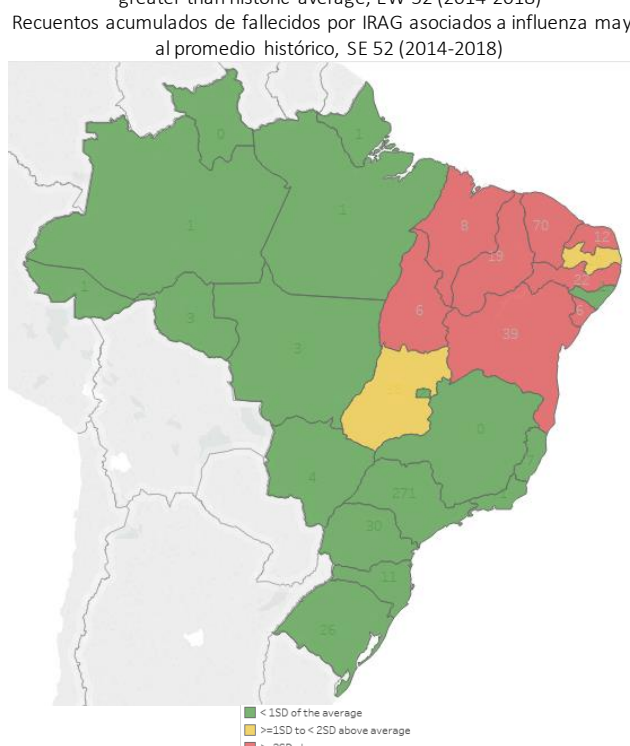
Graph 8. Brazil- NIC FIOCRUZ. Influenza virus distribution by EW 51, 2014-2018 Distribución de virus influenza por SE 51, 2014-2018



Graph 10. Brazil: Number of SARI cases out of all hospitalizations, by EW 52, 2018 (in comparison with 2015-17)
Número de casos IRAG de todas las hospitalizaciones, por SE 52, 2018 (en comparación con 2015-17)



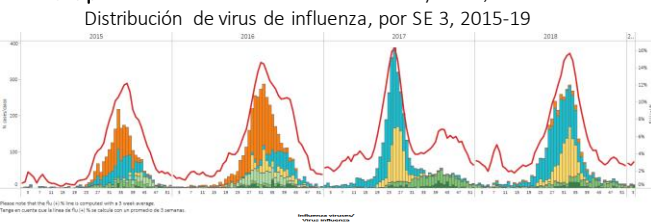
Graph 12. Brazil: Cumulative count of influenza-associated SARI deaths greater than historic average, EW 52 (2014-2018)
Recuentos acumulados de fallecidos por IRAG asociados a influenza mayor al promedio histórico, SE 52 (2014-2018)



Chile

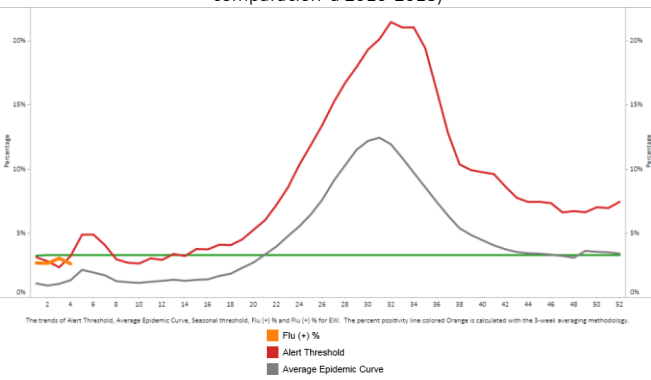
- During EW 3, at national level, the SARI cases slightly decreased from the previous weeks below the seasonal levels observed during 2015-2018 for the same period (Graph 4); while ILI activity also decreased (Graph 5). In EW 3, 2019, influenza activity remained below the historic average, with influenza B predominating (Graphs 1,3). RSV percent positivity remained at low levels and similar to the levels reported in 2017-18 for the same period (Graph 2). / Durante la SE 3, a nivel nacional, los casos de IRAG disminuyeron ligeramente respecto a las semanas previas bajo los niveles estacionales observados durante 2015-2018 para el mismo período (Gráfico 4), mientras que la actividad de ETI disminuyó también (Gráfico 5). En la SE 3 de 2019, la actividad de influenza permaneció bajo el promedio histórico, con predominio de influenza B (Gráficos 1, 3). El porcentaje de positividad de VSR permaneció a niveles bajos y similar a los niveles reportados en 2017-18 para el mismo período (Gráfico 2).

Graph 1. Chile: Influenza virus distribution by EW 3, 2015-19

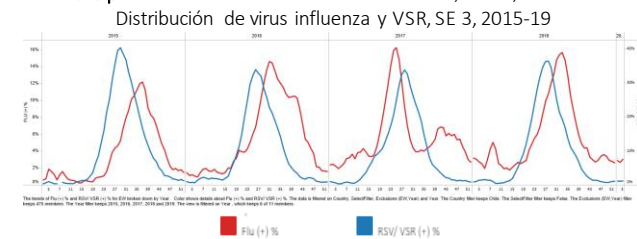


Graph 3. Chile: Baseline for the percent positivity for influenza, EW 3, 2019
(in comparison to 2010-2018)

Línea basal para el porcentaje de positividad de influenza, SE 3, 2019 (en comparación a 2010-2018)

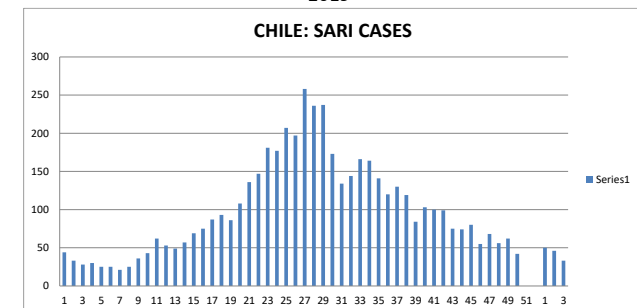


Graph 2. Chile: Influenza and RSV distribution, EW 3, 2015-19



Graph 4. Chile. Number of SARI cases from all hospitalizations, EW 3, 2018-19,

Número de casos IRAG por las hospitalizaciones totales, SE 3, 2018-2019



Graph 5. Chile. Number of ILI cases, EW 3, 2019, in comparison 2018

Número de casos ETI, SE 3, 2019, en comparación 2018



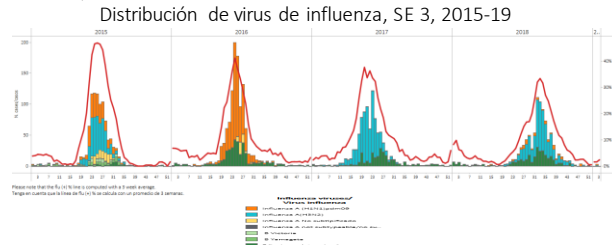
*To view more epi data, view [here](#). / Para ver mas datos epi, vea [aquí](#).

Paraguay

- During EW 3, at national level, the SARI cases decreased below the seasonal threshold (Graph 5), with a predominance among the under 5 and above 60 years of age population. In EW 52, the number of SARI deaths out of total deaths decreased from the prior week (Graph 6) mainly among the 60 years of age and older. ILI activity remained at seasonal levels after peaking later than in the previous 2016-2017 seasons (Graph 4). In EW 3, 2019, influenza activity remained low as compared to previous weeks with few influenza A(H3N2) and A(H1N1)pdm09 detections (Graphs 1, 3); RSV positivity decreased (Graph 2). / Durante la SE 3, a nivel nacional, los casos de IRAG disminuyeron por debajo del umbral

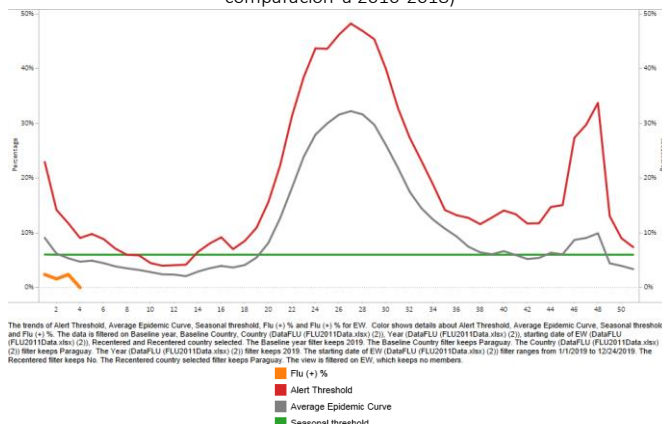
estacional (Gráfico 5), con predominio entre la población menor de 5 años y mayor de 60 años. En la SE 52, el número de muertes por IRAG del total de muertes disminuyó en relación a la semana previa (Gráfico 6) principalmente entre los mayores de 60 años. La actividad de ETI permaneció bajo los niveles estacionales luego de un pico más tardío que en temporadas anteriores de 2016-2017 (Gráfico 4). En la SE 3 de 2019, la actividad de influenza permaneció baja en comparación con las semanas previas con contadas detecciones de influenza A(H3N2) y A(H1N1)pdm09 (Gráficos 1, 3); la positividad de VSR disminuyó ligeramente (Gráfico 2).

Graph 1. Paraguay: Influenza virus distribution EW 3, 2015-19



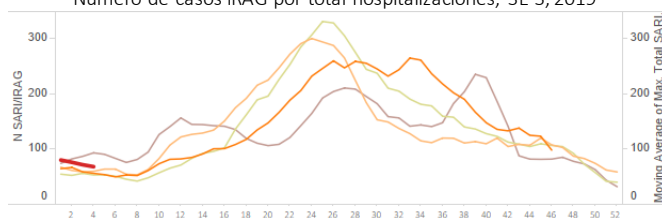
Graph 3. Paraguay SARI sentinel sites: Baseline for the percent positivity for influenza, EW 3, 2019 (in comparison to 2010-2018)

Línea basal para el porcentaje de positividad de influenza, SE 3, 2019 (en comparación a 2010-2018)



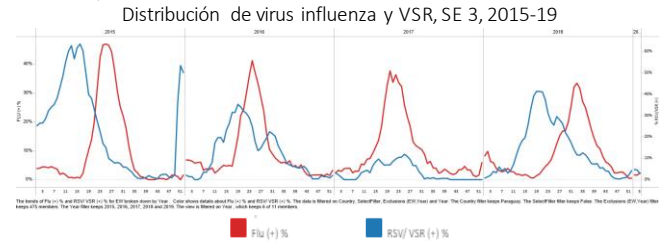
Graph 5. Paraguay: Number of SARI cases per total hospitalizations, EW 3 2019 (as compared to 2015-2018)

Número de casos IRAG por total hospitalizaciones, SE 3, 2019



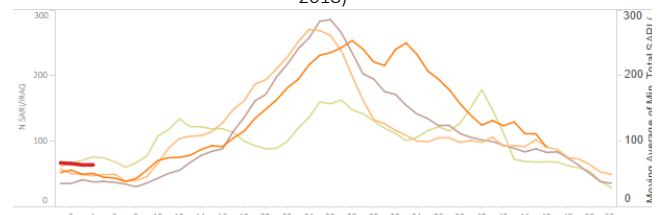
*To view more epi data, view [here](#). / Para ver mas datos epi, vea [aquí](#).

Graph 2. Paraguay: Influenza and RSV distribution, EW 3, 2015-19



Graph 4. Paraguay: Number of SARI cases with samples, EW 3, 2019 (as compared to 2015-2018)/

Número de casos con muestra , SE 3, 2019 (en comparación a 2015-2018)



Graph 6. Paraguay: Number of SARI deaths per total deaths, EW 52, 2018.

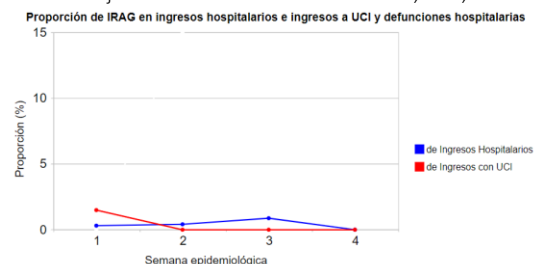
Número de fallecidos por IRAG, SE 52, 2018



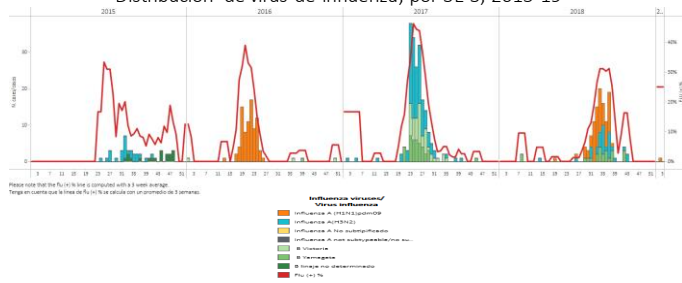
Uruguay

- In EW 3, increased influenza activity was reported with few samples overall (Graphs 3, 4); with increased RSV positivity (Graph 2). During the first four weeks of 2019, the proportion of SARI cases among all hospitalizations, the proportion of SARI case requiring ICU admission and the proportion of SARI-associated cases remained at low levels (Graph 1, 5). / Durante la SE 3, se reportó mayor actividad de influenza con escasas detecciones en general (Gráficos 3, 4); con positividad de VSR aumentada (Gráfico 2). Durante las primeras cuatro semanas de 2019, la proporción de casos de IRAG del total de hospitalizaciones, la proporción de casos de IRAG con admisión a UCI y la proporción de fallecidos por IRAG permanecieron a niveles bajos en relación a las semanas anteriores (Gráfico 1).

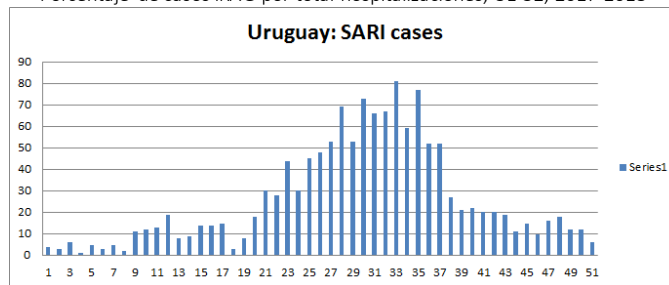
Graph 1. Uruguay: % SARI cases requiring ICU admission, EW 4, 2019;
Porcentaje de casos de IRAG admitidos a UCI, SE 4, 2019



Graph 3. Uruguay: Influenza virus distribution by EW 3, 2015-19
Distribución de virus de influenza, por SE 3, 2015-19

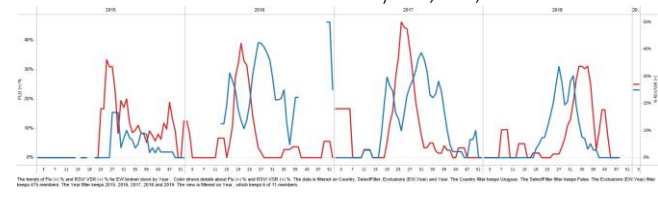


Graph 5. Uruguay: Percent of SARI cases per total hospitalizations, EW 52, 2017-2018
Porcentaje de casos IRAG por total hospitalizaciones, SE 52, 2017-2018

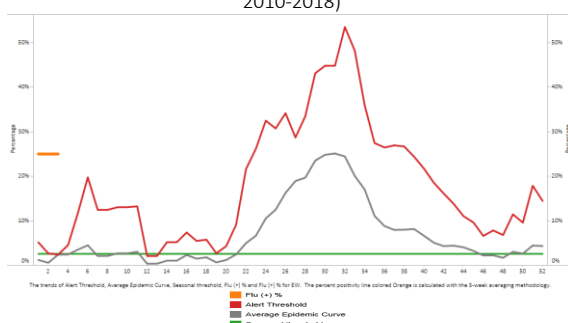


*To view more epi data, view [here](#). / Para ver mas datos epi, vea [aquí](#).

Graph 2. Uruguay: Influenza and RSV distribution, EW 3, 2015-19
Distribución de virus influenza y VSR, SE 3, 2015-19



Graph 4. Uruguay: Percent positivity for influenza, EW 3, 2019 (in comparision to 2010-2018)
Porcentaje de positividad de influenza, SE 3, 2019 (en comparación a 2010-2018)

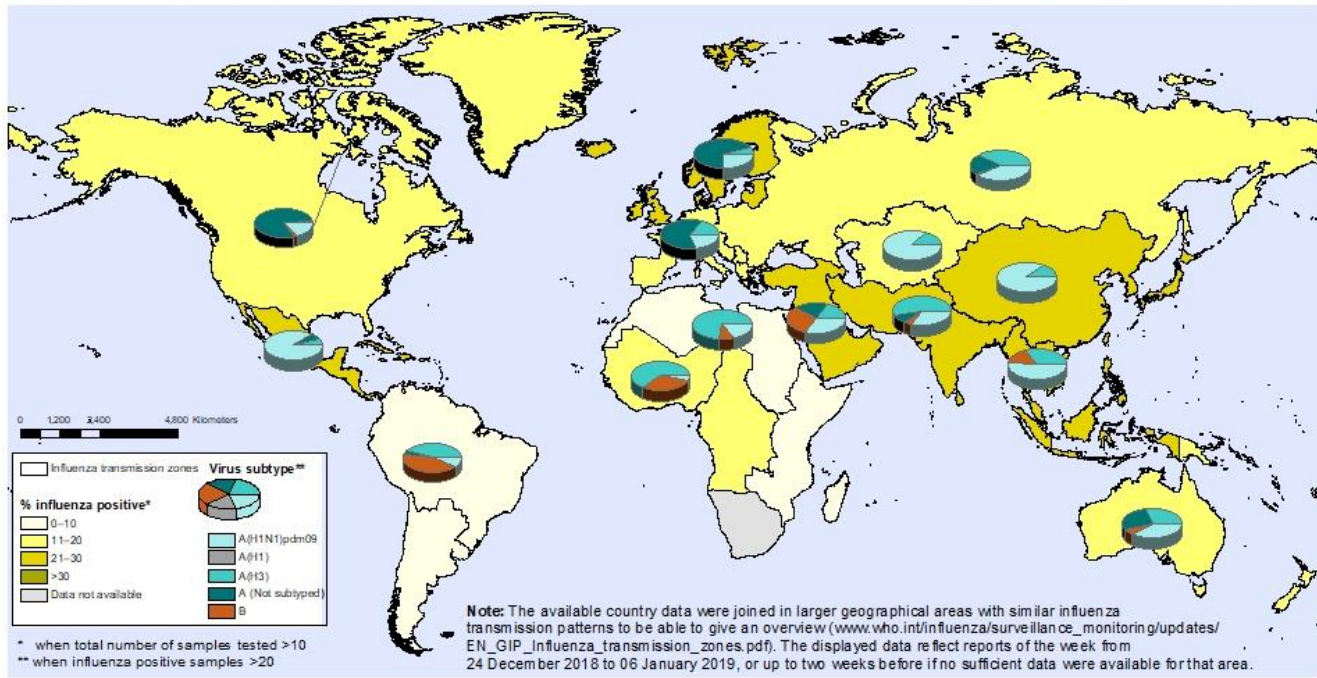


In the temperate zone of the northern hemisphere influenza activity continued to increase slowly. In North America influenza activity remained elevated overall with influenza A(H1N1)pdm09 predominating, while both influenza A viruses circulated in Europe. In Western and East Asia, some countries reached medium levels of influenza intensity. In Southern Asia, influenza detections remained elevated overall mainly due to increased influenza A(H3N2) detections. In the temperate zones of the southern hemisphere, influenza activity returned to inter-seasonal levels with exception of some parts in Australia. Worldwide, seasonal influenza A viruses accounted for the majority of detections. / En la zona templada del hemisferio norte, la actividad de influenza continuó aumentando lentamente. En América del Norte, la actividad de influenza permaneció elevada en general, predominando influenza A(H1N1) pdm09, mientras que ambos virus influenza A circularon en Europa. En Asia occidental y oriental, algunos países alcanzaron niveles medios de intensidad de influenza. En el sur de Asia, las detecciones de influenza se mantuvieron elevadas en general debido principalmente al aumento de las detecciones de influenza A(H3N2). En las zonas templadas del hemisferio sur, la actividad de influenza regresó a niveles interestacionales, con excepción de algunas partes en Australia. En todo el mundo, los virus influenza A estacionales representaron la mayoría de las detecciones

National Influenza Centres (NICs) and other national influenza laboratories from 104 countries, areas or territories reported data to FluNet for the time period from 24 December 2018 to 6 January 2019. The WHO GISRS laboratories tested more than 191778 specimens during that time period. 39161 were positive for influenza viruses, of which 38493 (98.3%) were typed as influenza A and 668 (1.7%) as influenza B. Of the sub-typed influenza A viruses, 13313 (79.4%) were influenza A(H1N1)pdm09 and 3446 (20.6%) were influenza A(H3N2). Of the characterized B viruses, 45 (38.1%) belonged to the B-Yamagata lineage and 73 (61.9%) to the B-Victoria lineage. / Los Centros Nacionales de Influenza (NICs) y otros laboratorios nacionales de influenza de 104 países, áreas o territorios, reportaron datos a FluNet en el período del 24 de diciembre de 2018 al 6 de enero de 2019. Los laboratorios de la OMS GISRS realizaron pruebas a más de 191778 muestras durante ese período. 39161 tuvieron resultado positivo para virus influenza, de los cuales 38493 (98,3%) fueron tipificados como influenza A y 668 (1,7%) como influenza B. De los virus influenza A subtipificados, 13313 (79,4%) fueron influenza A(H1N1)pdm09 y 3446 (20,6%) fueron influenza A(H3N2). De los virus influenza B caracterizados, 45 (38,1%) fueron del linaje B-Yamagata y 73 (61,9%) fueron del linaje B-Victoria.

**Percentage of respiratory specimens that tested positive for influenza
By influenza transmission zone**

Status as of 18 January 2019



This report summarizes³ the epidemiological and virological features of the laboratory-confirmed human cases of infection with influenza viruses of animal origin from 14 December 2018 to 21 January 2019⁴.

- **New infections:** One human infection with an avian influenza A(H9N2) virus was reported.
- **Risk assessment:** The overall public health risk from currently known influenza viruses at the human-animal interface has not changed, and the likelihood of sustained human-to-human transmission of these viruses remains low. Further human infectious with viruses of animal origin are expected.
- **Risk management:** Selection of new candidate vaccine viruses (CVVs) for zoonotic influenza for influenza pandemic preparedness purposes was done during a recent WHO consultation.
- **IHR compliance:** All human infections caused by a new influenza subtype are required to be reported under the International Health Regulations (IHR 2005). Information from these notifications is critical to inform risk assessments for influenza at the human-animal interface./

Este reporte resume⁵ las características epidemiológicas y virológicas de los casos confirmados en laboratorio de infección por virus influenza de origen animal del 14 de diciembre de 2018 al 21 de enero de 2019⁶.

- **Nuevas infecciones:** Una infección por virus influenza aviar A(H9N2) fue reportada.
- **Evaluación de riesgo:** El riesgo general para la salud pública de los virus influenza conocidos en la interfaz entre humanos y animales no ha cambiado, y la probabilidad de transmisión sostenida de estos virus sigue siendo baja. Se esperan más infecciones humanas con virus de origen animal.
- **Gestión de riesgos:** durante una reciente consulta de la OMS, se realizó la selección de nuevos virus de vacuna candidata (CVV) para la influenza zoonótica con fines de preparación para una pandemia de influenza.
- **Cumplimiento del RSI:** Todas las infecciones humanas causadas por un nuevo subtipo de influenza deben informarse según el Reglamento Sanitario Internacional (RSI 2005). La información de estas notificaciones es fundamental para informar las evaluaciones de riesgo para la influenza en la interfaz humano-animal.

Avian influenza viruses / Virus influenza aviar

Avian influenza A(H5) viruses / Virus influenza aviar A(H5)

Since 13 December 2018, no new laboratory-confirmed human cases of influenza A(H5) virus infections were reported to WHO. Various influenza A(H5) subtypes continue to be detected in birds in Africa, Europe and Asia. Overall, the risk assessment has not changed./ Desde el 13 de diciembre de 2018, no se informó a la OMS de nuevos casos confirmados por laboratorio de infecciones por el virus influenza A(H5). Se siguen detectando varios subtipos de influenza A(H5) en aves de África, Europa y Asia. En general, la evaluación de riesgos no ha cambiado.

Avian influenza A(H7N9) viruses / Virus influenza aviar A(H7N9)

Since 13 December 2018, no new laboratory-confirmed human cases of influenza A(H7N9) virus infections were reported to WHO. There have been no publicly available reports from animal health authorities in China of influenza A(H7N9) virus detections in animals in recent months. Overall, the risk assessment has not changed. /

Desde el 13 de diciembre de 2018, no se notificaron a la OMS casos nuevos confirmados por laboratorio de infecciones por el virus influenza A(H7N9). En los últimos meses, las autoridades de sanidad animal de China no han publicado informes públicos sobre la detección del virus influenza A(H7N9) en animales. En general, la evaluación de riesgos no ha cambiado.

³ For epidemiological and virological features of human infections with animal influenza viruses not reported in this assessment, see the yearly report on human cases of influenza at the human-animal interface published in the Weekly Epidemiological Record. www.who.int/wer/en/

⁴ WHO (2018) Influenza at the human-animal interface Summary and assessment. Available at: http://www.who.int/influenza/human_animal_interface/HAI_Risk_Assessment/en/

⁵ Para conocer las características epidemiológicas y virológicas de las infecciones humanas con virus de influenza animal no reportadas en esta evaluación, consulte el informe anual sobre casos humanos de influenza en la interfaz humano-animal publicado en el Reporte Epidemiológico Semanal. Disponible en: www.who.int/wer/en/

⁶ OMS (2018) Influenza en la interfaz humano-animal Resumen y evaluación. Disponible en: http://www.who.int/influenza/human_animal_interface/HAI_Risk_Assessment/en/

Avian influenza A(H9N2) viruses / Virus influenza aviar A(H9N2)

Since 13 December 2018, one new laboratory-confirmed human case of influenza A(H9N2) virus infection was reported to WHO. On 3 January 2019, China reported the detection of avian influenza A(H9N2) virus in a 32-year-old woman from Guangdong, with an onset of illness on 19 December 2018. The illness was reportedly mild, but she was hospitalized on 25 December 2018. The woman did not report exposure to live poultry. During epidemiological investigations, no further cases among family members were reported. Avian influenza A(H9N2) viruses are enzootic in poultry in China./

Desde el 13 de diciembre de 2018, se informó a la OMS un nuevo caso confirmado por laboratorio de infección por el virus influenza A(H9N2) en humanos. El 3 de enero de 2019, China informó sobre la detección del virus influenza aviar A(H9N2) en una mujer de 32 años de Guangdong, con inicio de síntomas el 19 de diciembre de 2018. La enfermedad fue leve, pero fue hospitalizada el 25 de diciembre de 2018. La mujer no reportó exposición a aves de corral vivas. Durante las investigaciones epidemiológicas, no se reportaron más casos entre familiares. Los virus influenza aviar A(H9N2) son enzoóticos en aves de corral en China.

ACRONYMS

ARI	Acute Respiratory Infection
CARPHA	Caribbean Public Health Agency
CENETROP	Centro de Enfermedades Tropicales (Santa Cruz, Bolivia)
EW	Epidemiological Week
ILI	Influenza-like illness
INLASA	Instituto Nacional de Laboratorios de Salud (La Paz, Bolivia)
INS	Instituto Nacional de Salud
ORV	Other respiratory viruses
SARI	Severe acute respiratory infection
SEDES	Servicio Departamental de Salud (Bolivia)
ICU	Intensive Care Unit
RSV	Respiratory Syncytial Virus

ACRÓNIMOS

CARPHA	Agencia de Salud Pública del Caribe/Caribbean Public Health Agency
CENETROP	Centro de Enfermedades Tropicales (Santa Cruz, Bolivia)
ETI	Enfermedad Tipo influenza
INLASA	Instituto Nacional de Laboratorios de Salud (La Paz, Bolivia)
INS	Instituto Nacional de Salud
IRA	Infección Respiratoria Aguda
IRAG	Infección Respiratoria Aguda grave
OVR	Otros virus respiratorios
SE	Semana epidemiológica
SEDES	Servicio Departamental de Salud (Bolivia)
UCI	Unidad de Cuidados Intensivos
VSR	Virus Sincitial Respiratorio